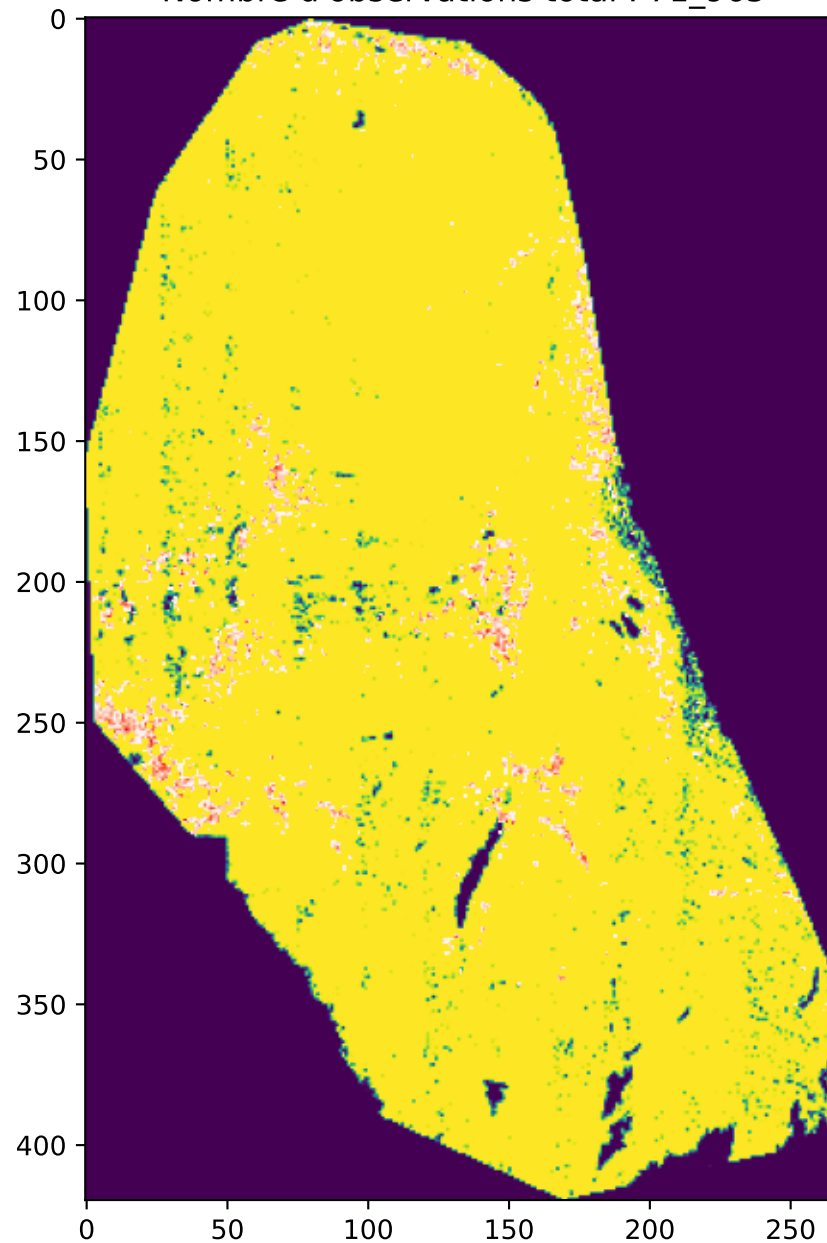
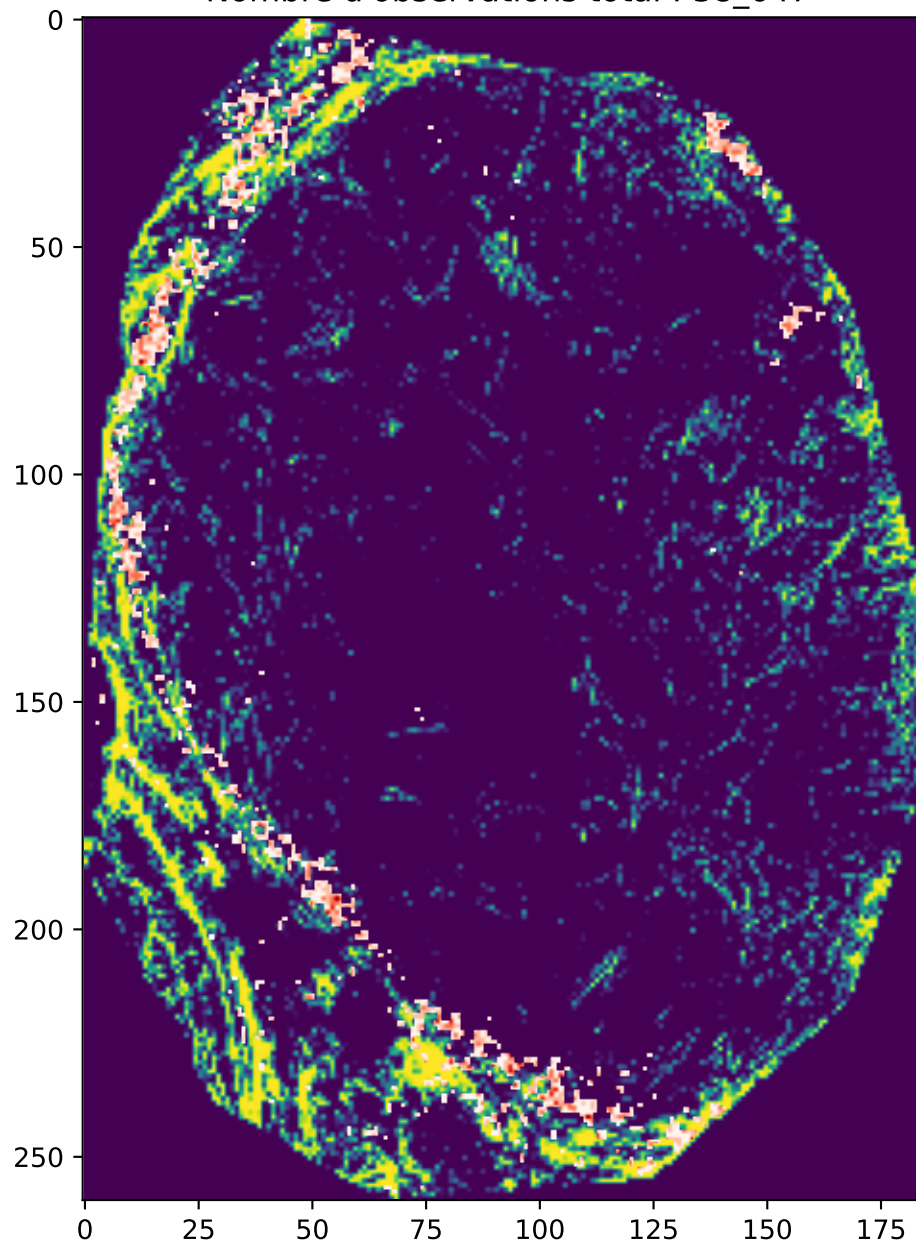


MAX\_12b\_187\_CD3eFITC  
WT  
Nombre de Cellules T : 21\_448 (29.80%)  
Nombre d'observations total : 71\_965



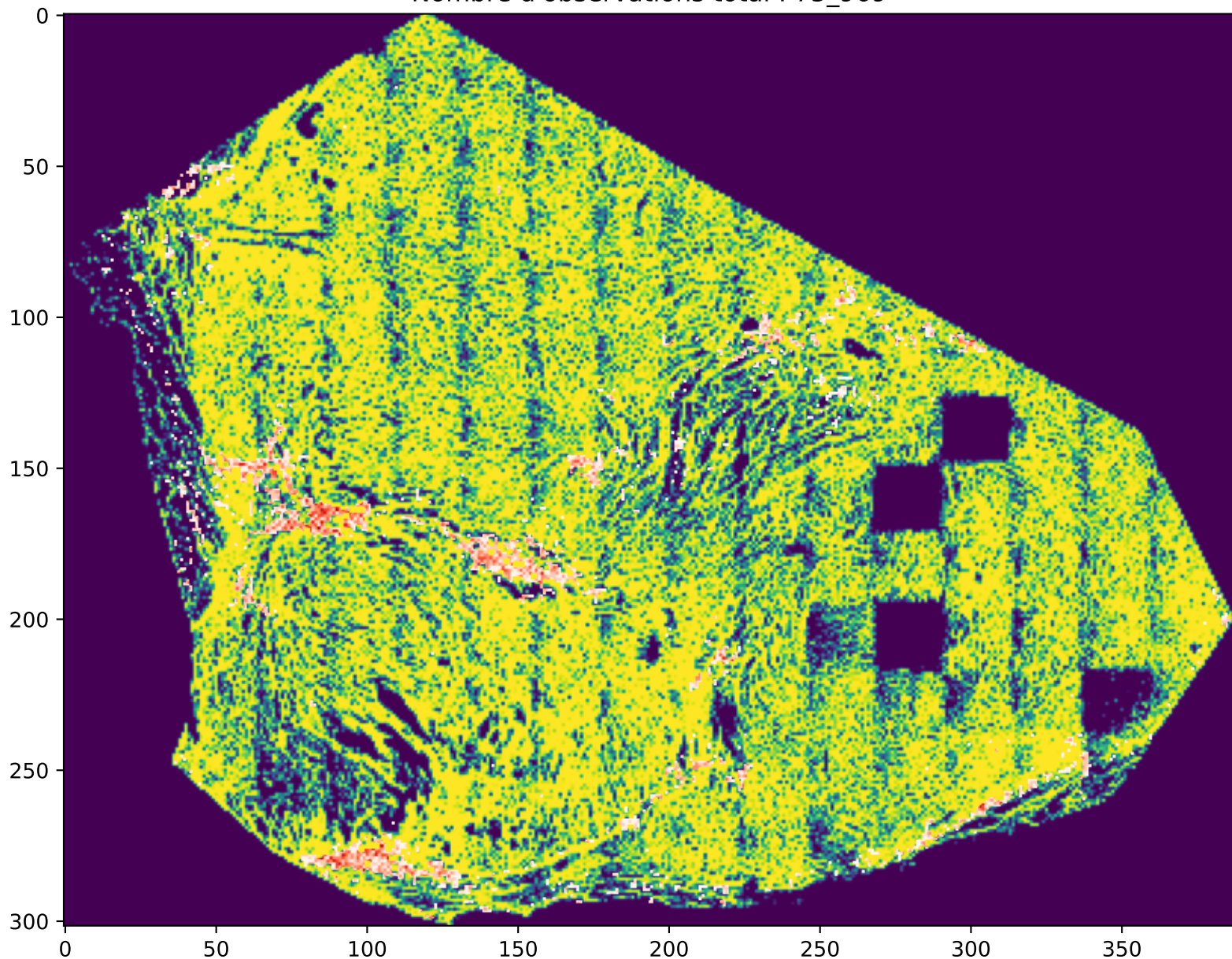
FWT\_507\_down\_CD3FITC  
WT

Nombre de Cellules T : 8\_383 (21.69%)  
Nombre d'observations total : 38\_647



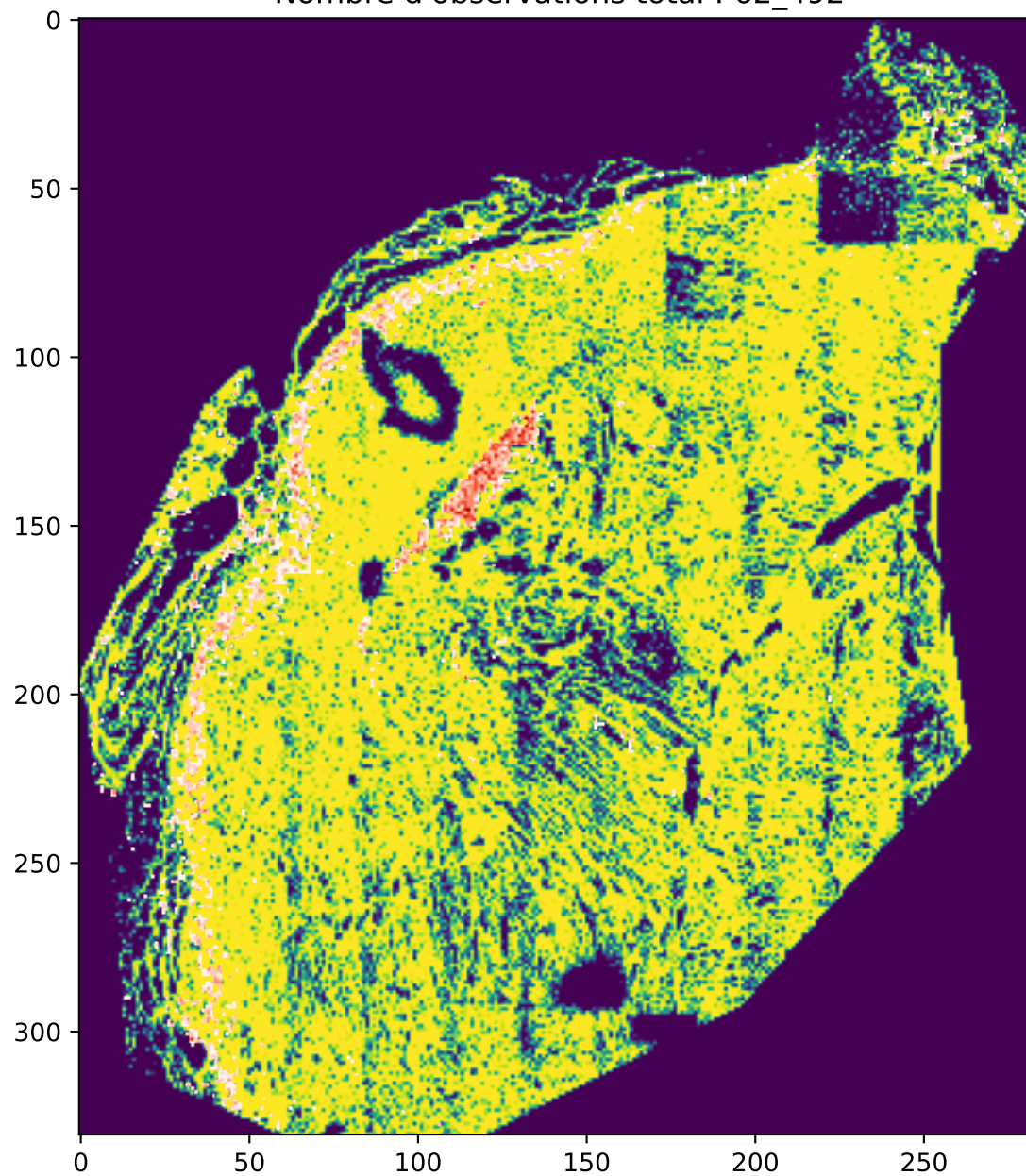
MAX\_12b\_189\_CD3eFITC  
WT

Nombre de Cellules T : 17\_468 (22.99%)  
Nombre d'observations total : 75\_969



MAX\_12b\_184\_CD3eFITC  
WT

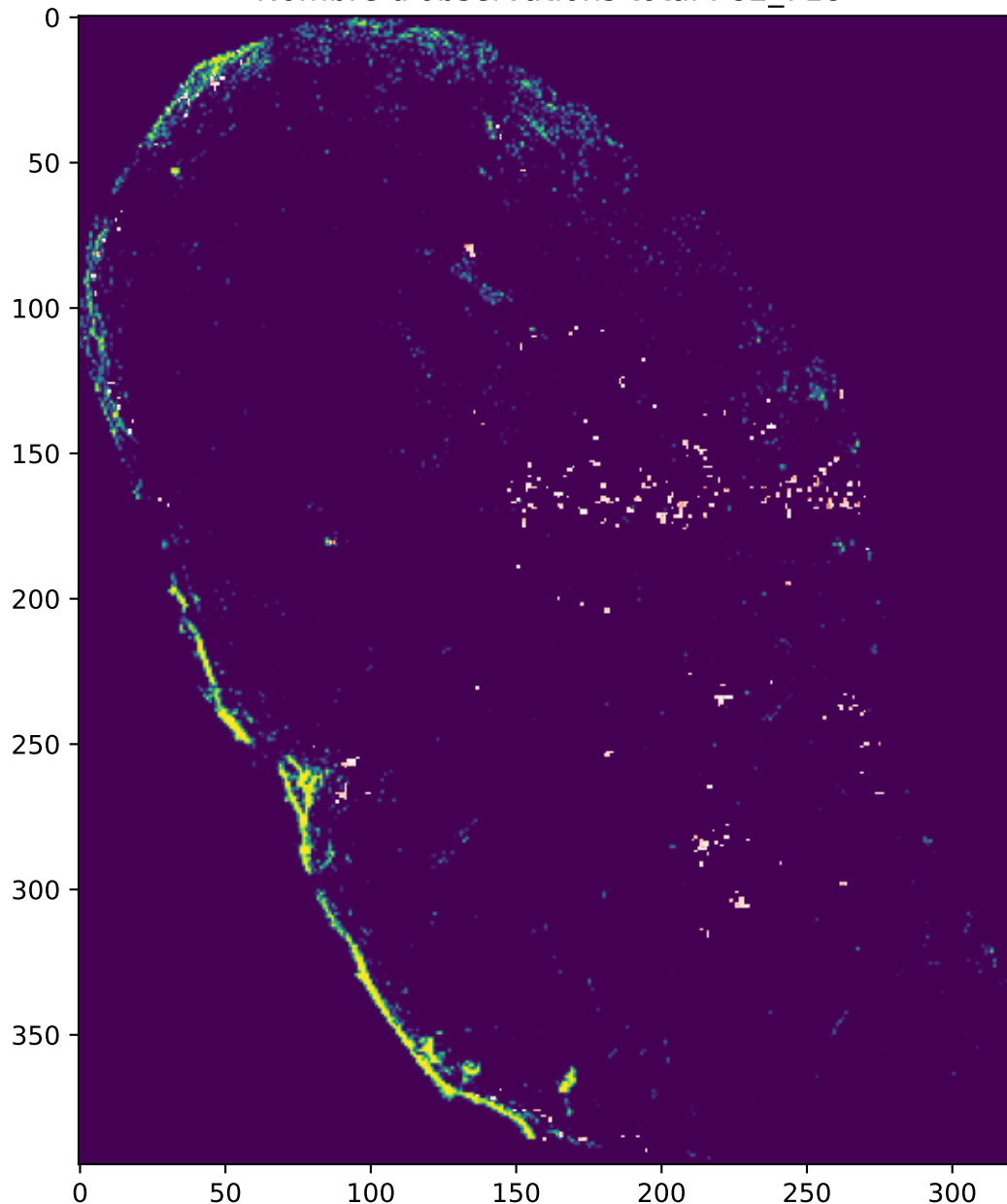
Nombre de Cellules T : 16\_580 (26.53%)  
Nombre d'observations total : 62\_492



MAX\_12b\_FWT331\_CD3\_SHG

WT

Nombre de Cellules T : 7\_657 (9.26%)  
Nombre d'observations total : 82\_718

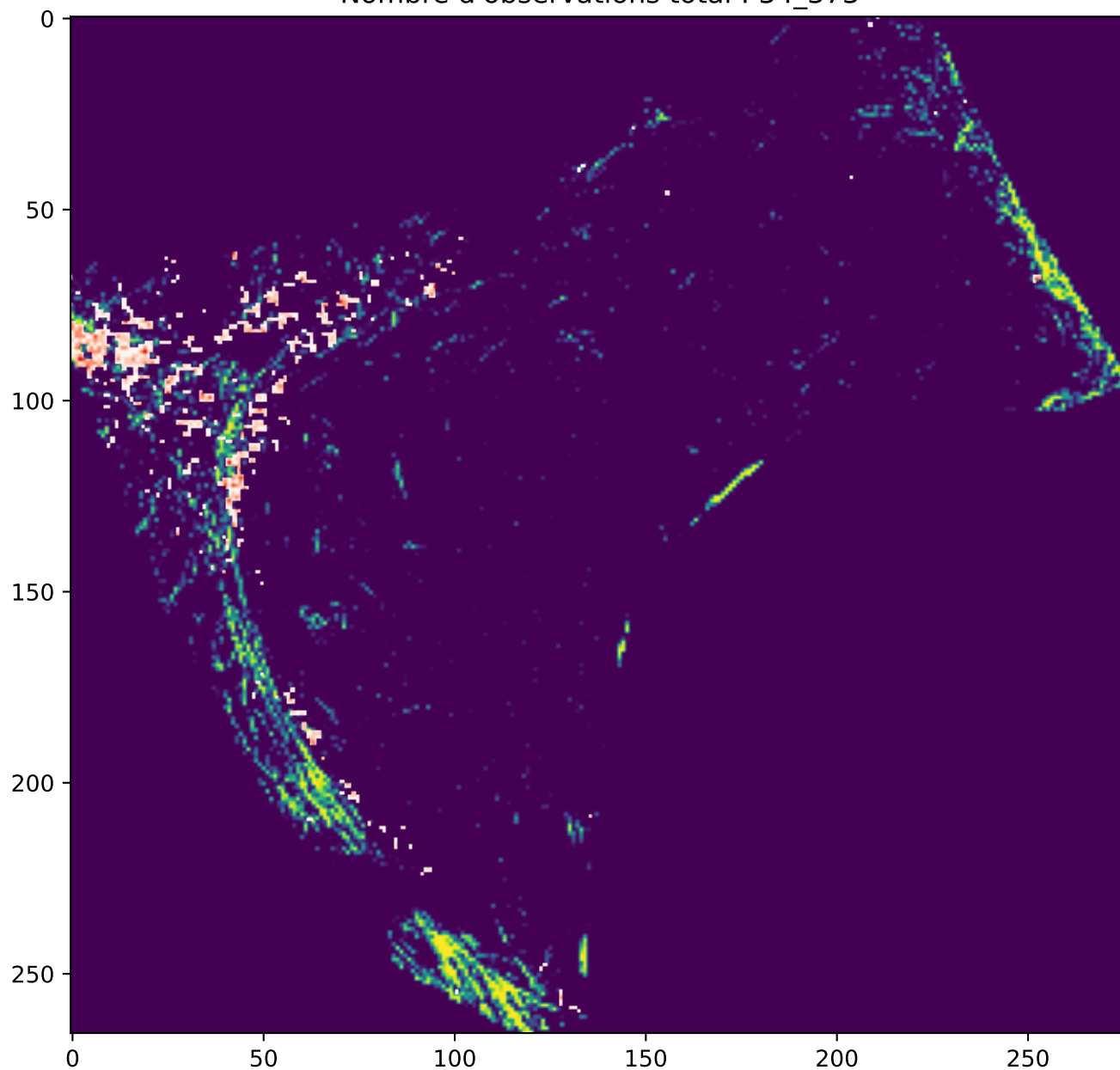


MAX\_12b\_FWT\_333\_CD3\_SHG

WT

Nombre de Cellules T : 5\_707 (16.60%)

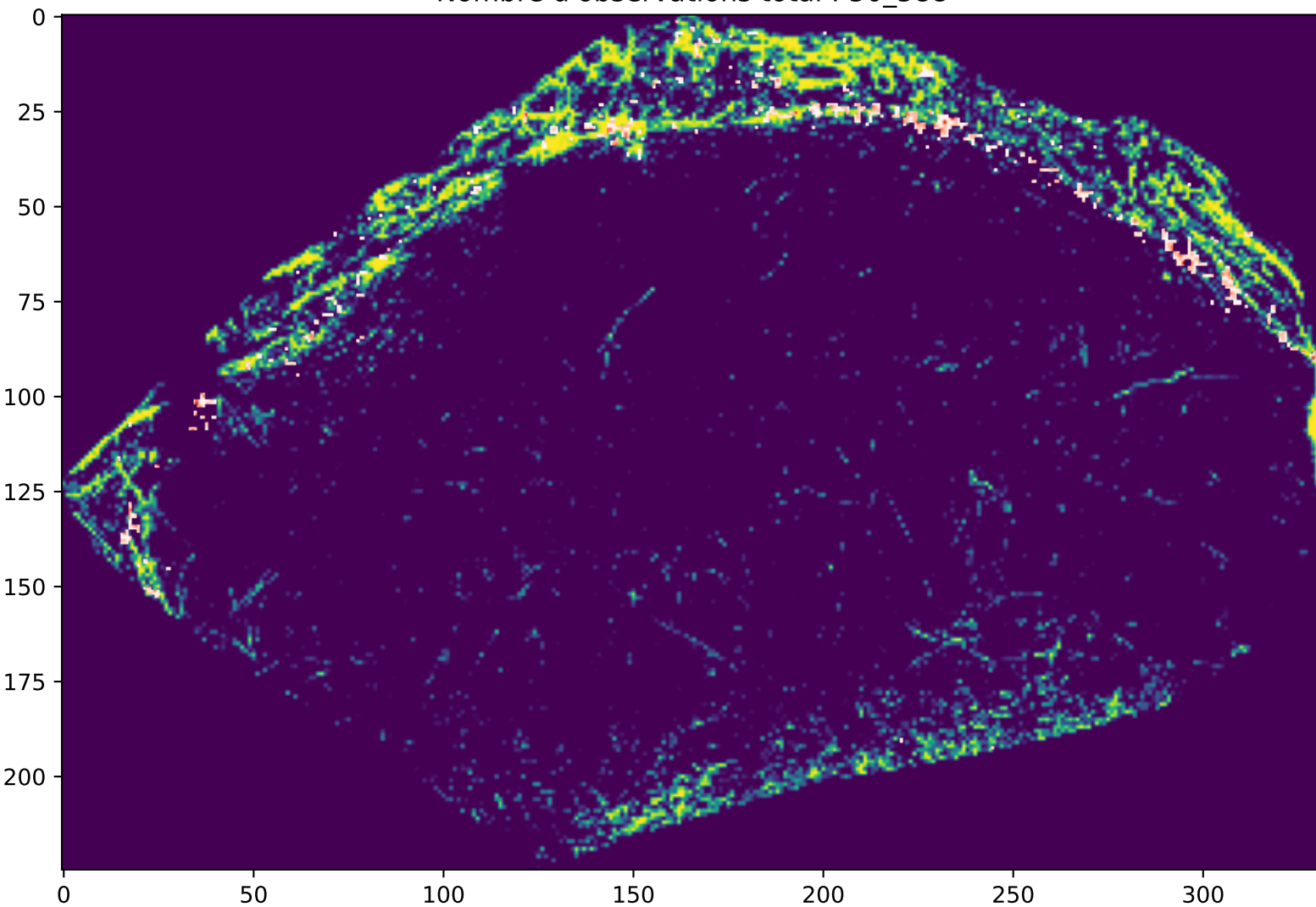
Nombre d'observations total : 34\_373



FWT\_928\_right\_CD3FITC

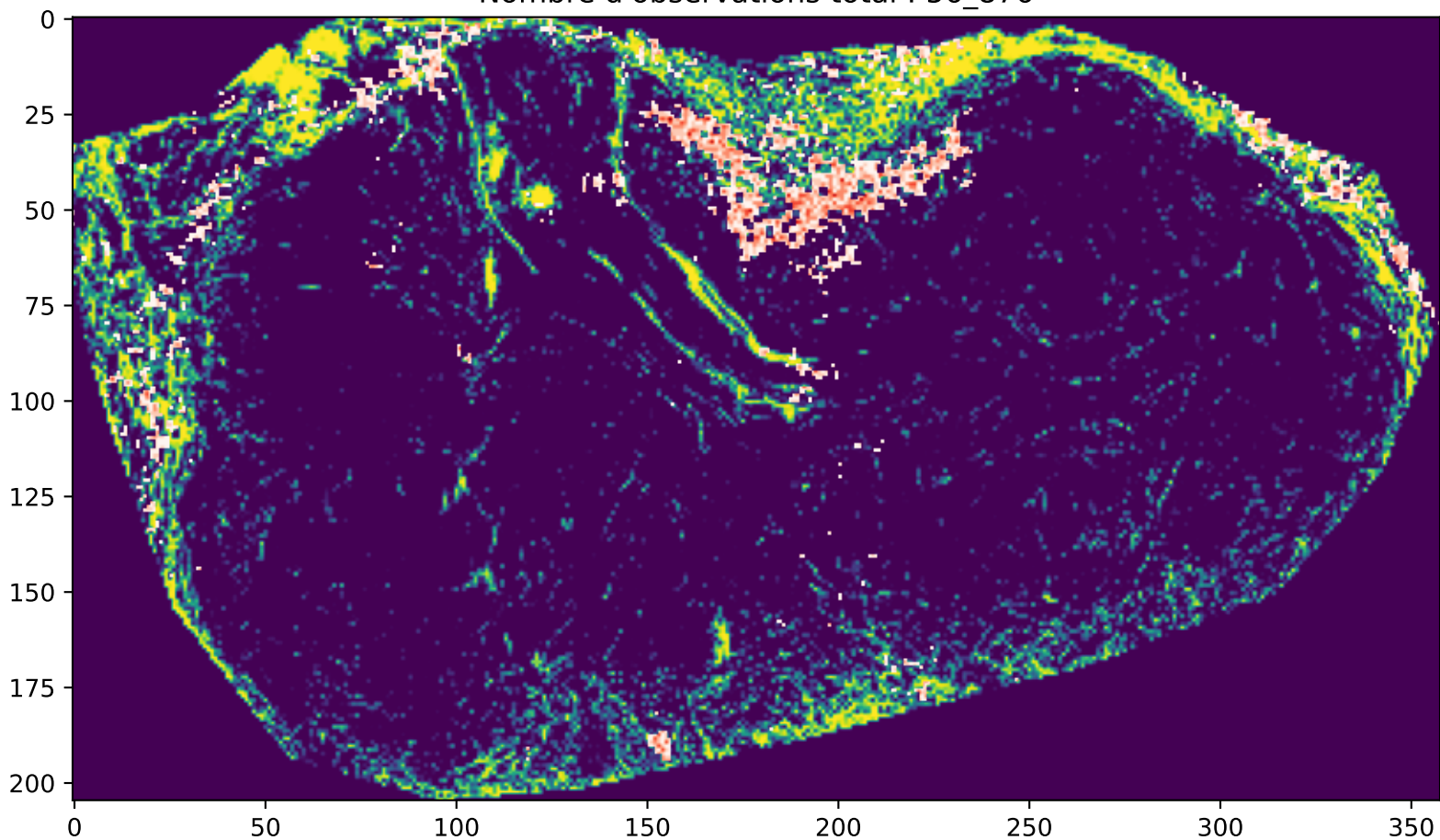
WT

Nombre de Cellules T : 4\_934 (9.75%)  
Nombre d'observations total : 50\_588



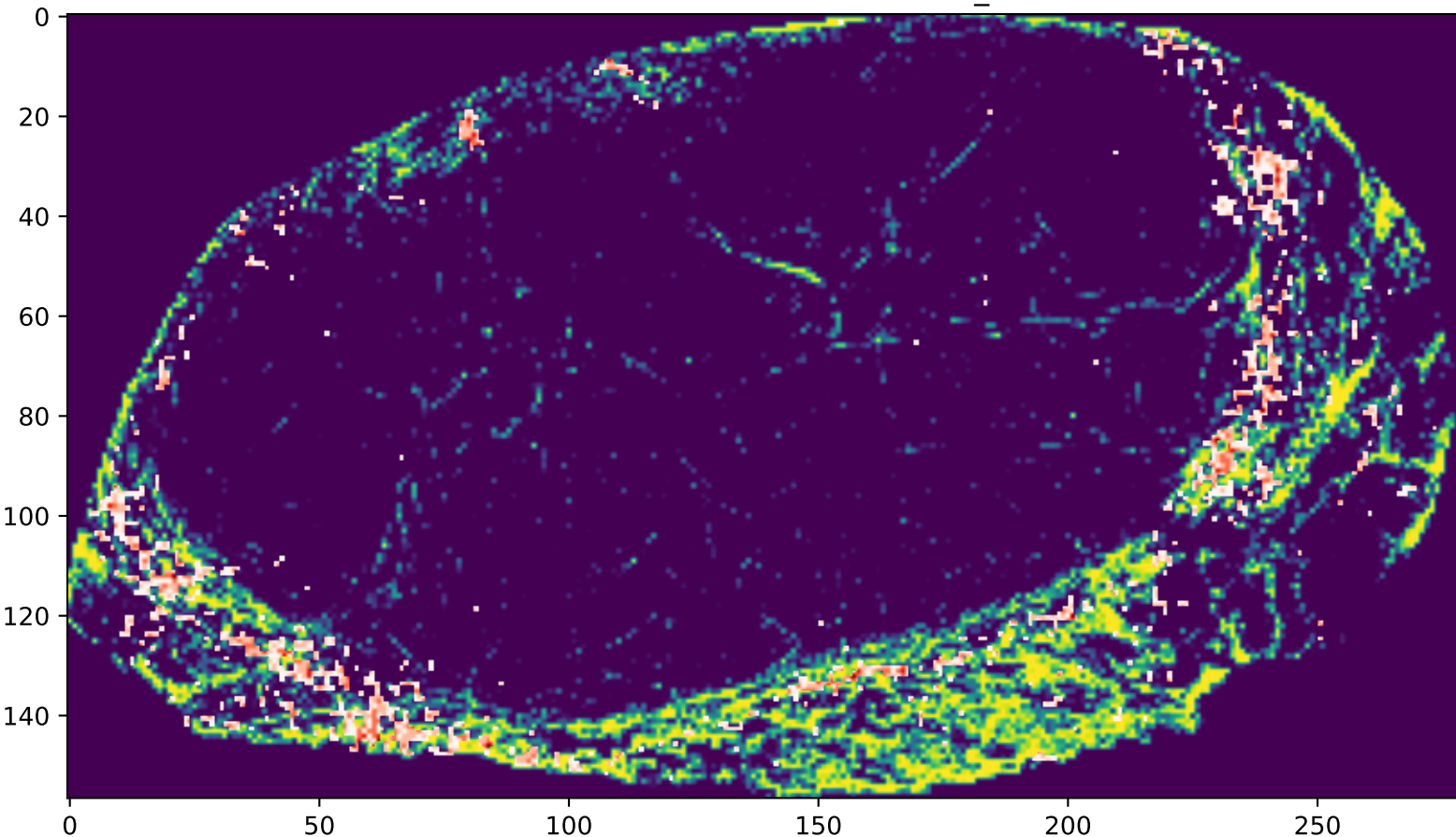
FWT\_861\_big\_CD3FITC  
WT

Nombre de Cellules T : 12\_379 (21.76%)  
Nombre d'observations total : 56\_876

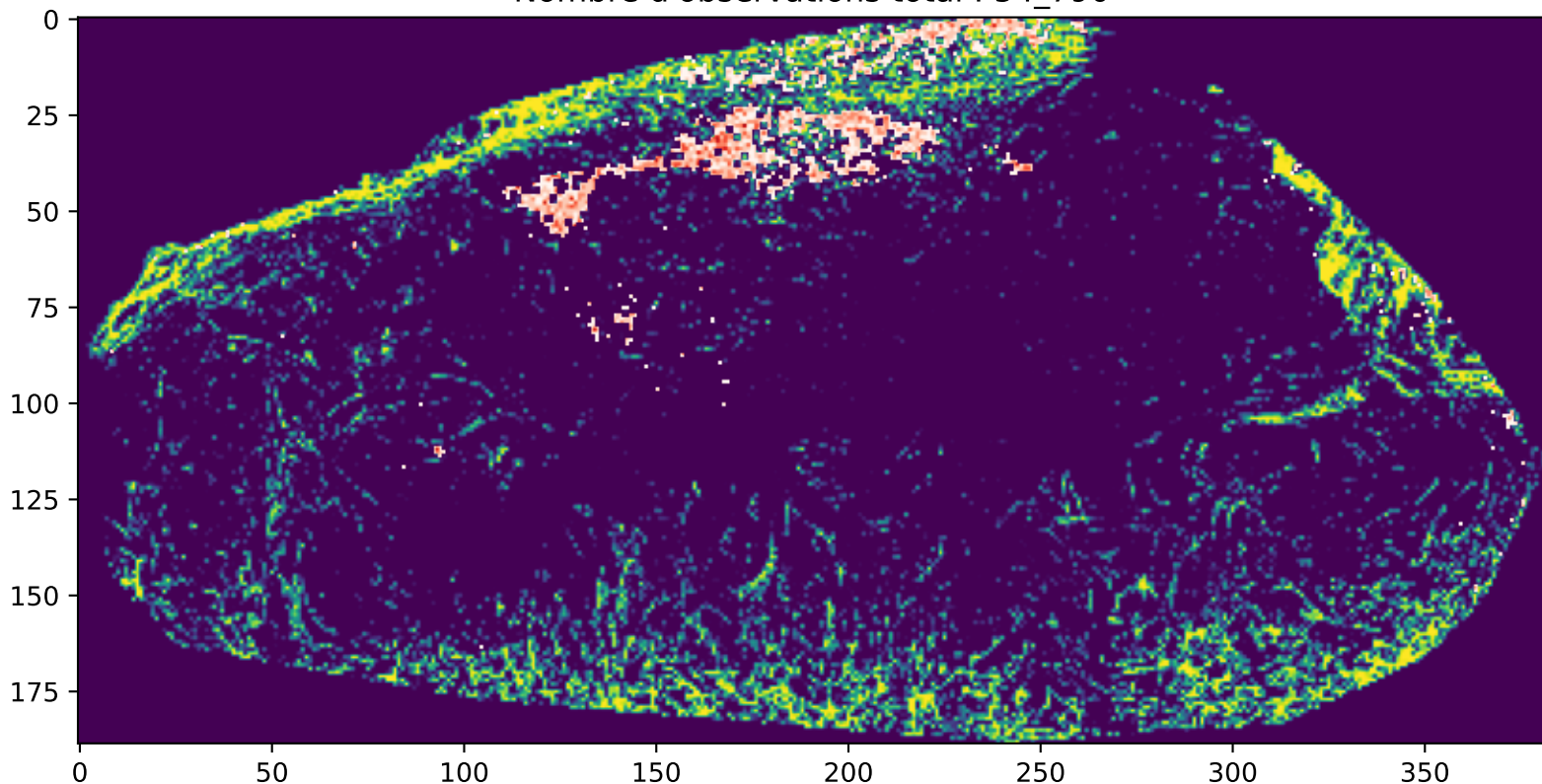


FWT\_511\_CD3FITC\_F480\_AF647\_Phal546  
WT

Nombre de Cellules T : 9\_538 (27.63%)  
Nombre d'observations total : 34\_524



MAX\_MWT738\_CD3\_SHG  
WT  
Nombre de Cellules T : 8\_757 (15.98%)  
Nombre d'observations total : 54\_790

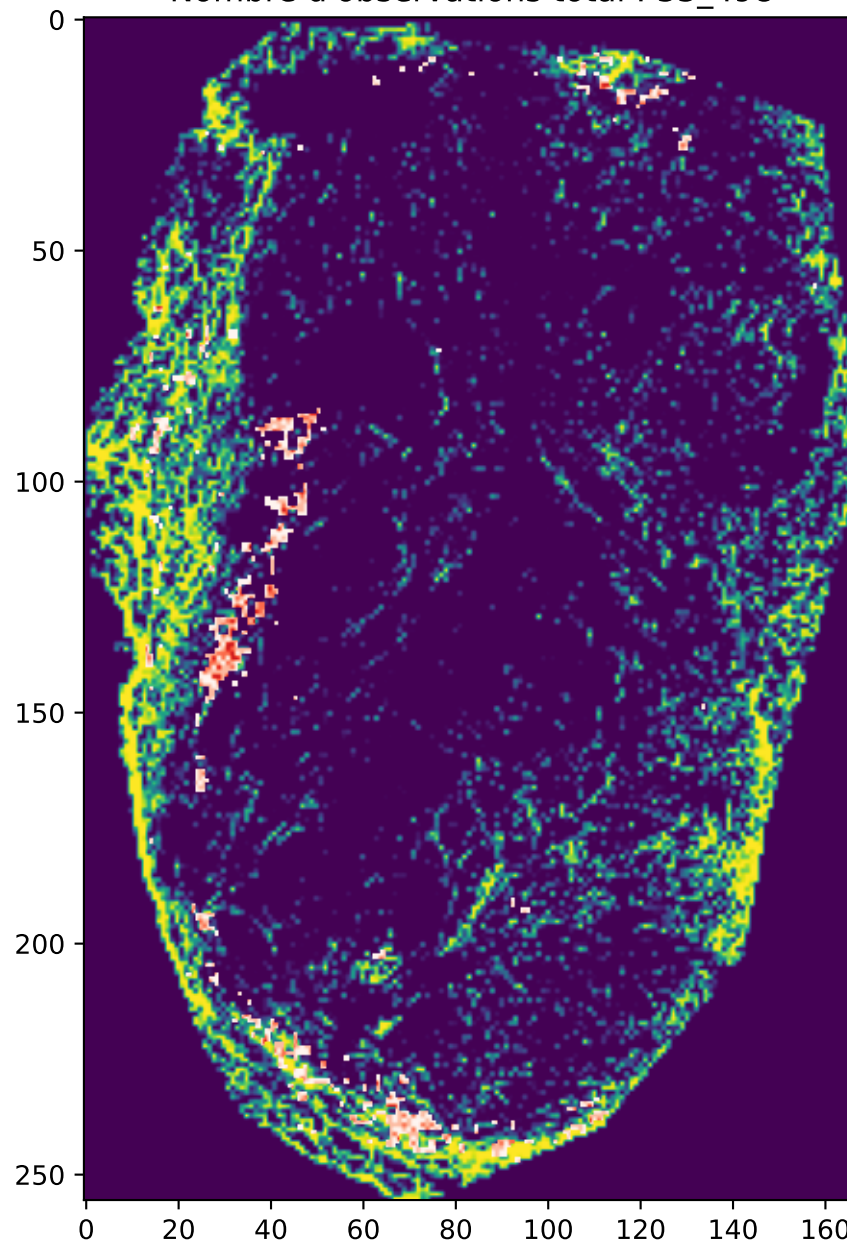


MAX\_MWT854\_CD3\_SHG

WT

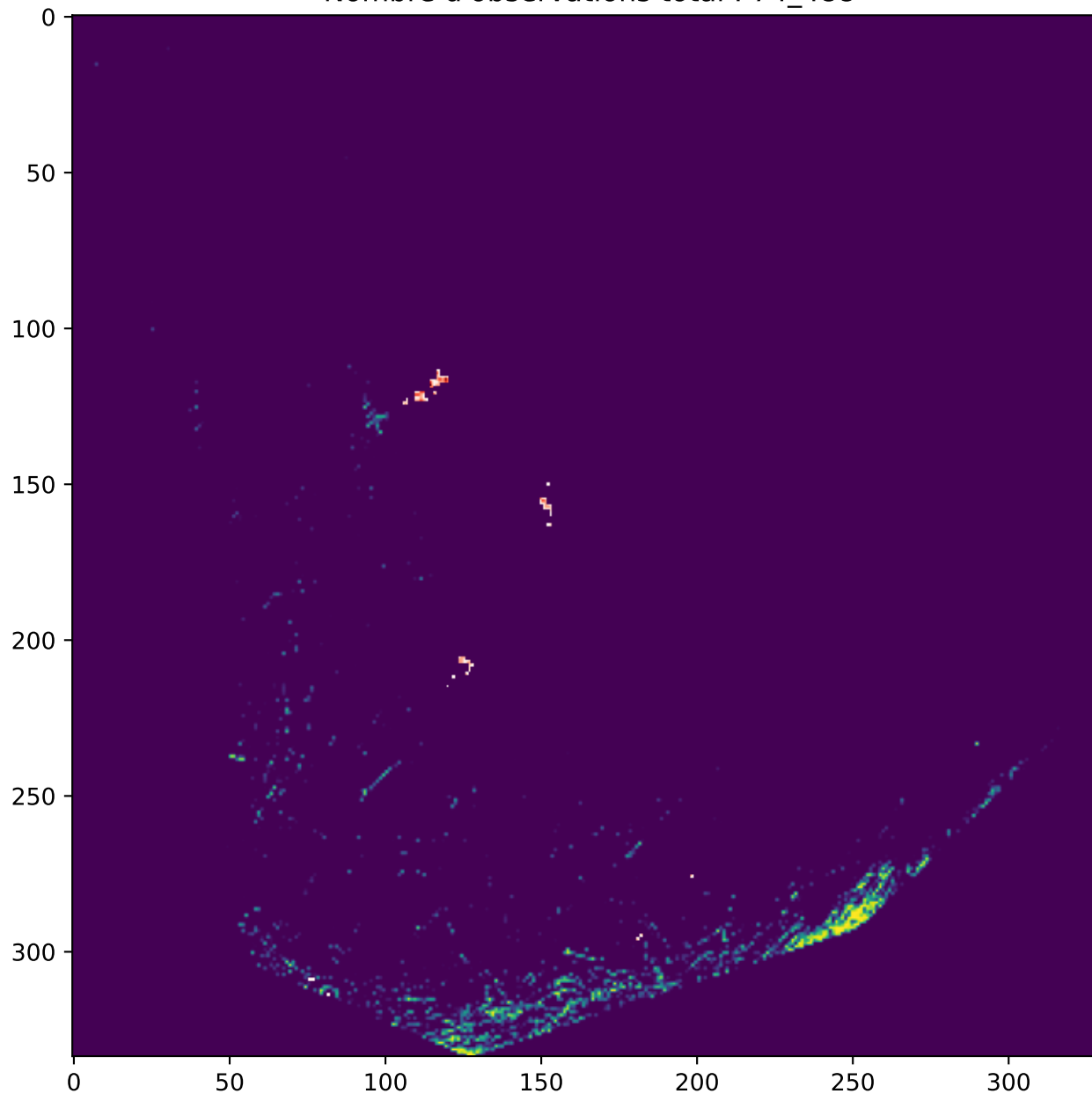
Nombre de Cellules T : 5\_481 (16.36%)

Nombre d'observations total : 33\_498



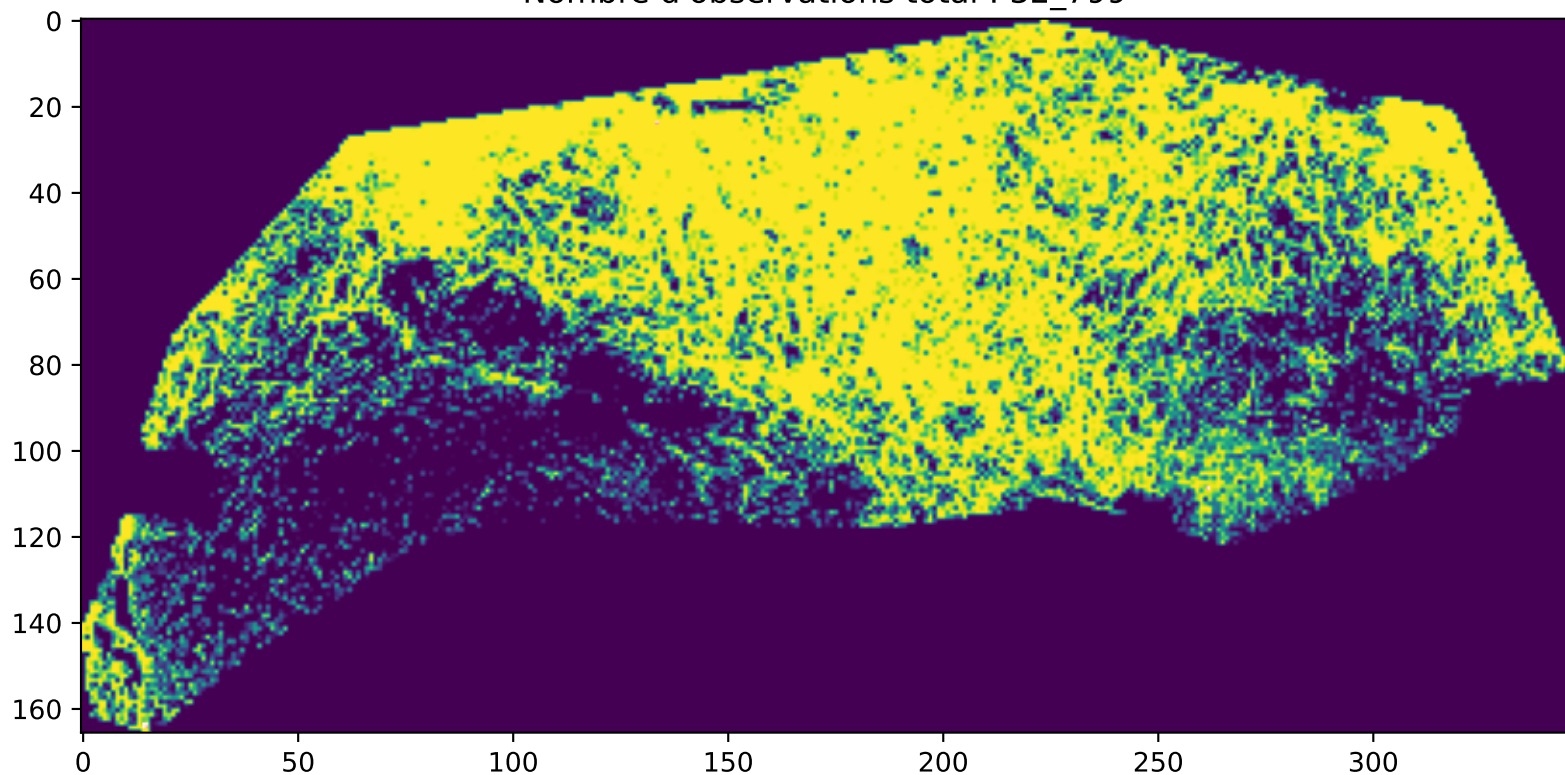
12c\_ZF\_MAX\_12c\_MW137\_CD3FITC\_SHG  
WT

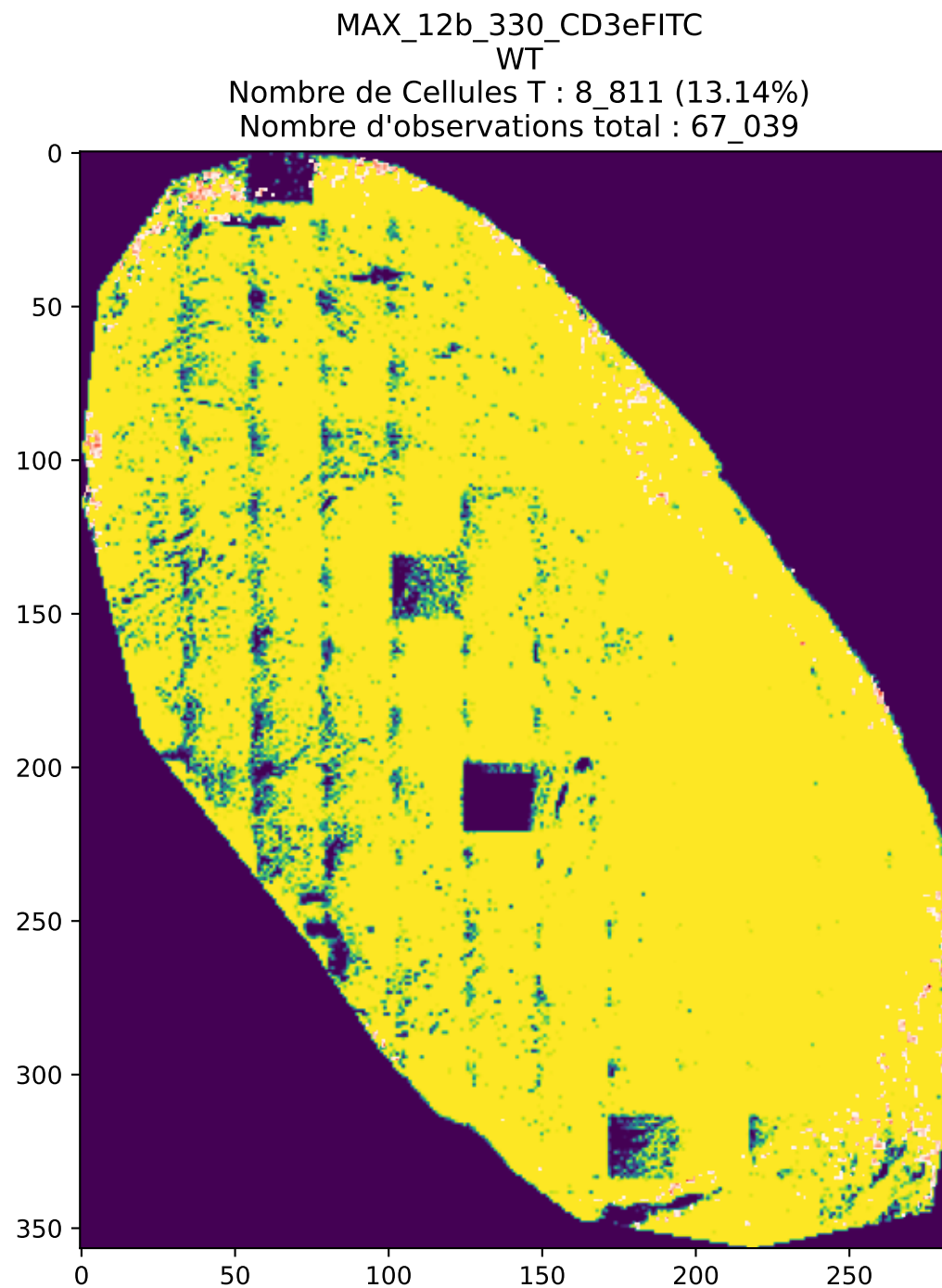
Nombre de Cellules T : 1\_324 (1.78%)  
Nombre d'observations total : 74\_488



MAX\_MWT929\_CD3\_SHG  
WT

Nombre de Cellules T : 308 (0.94%)  
Nombre d'observations total : 32\_799



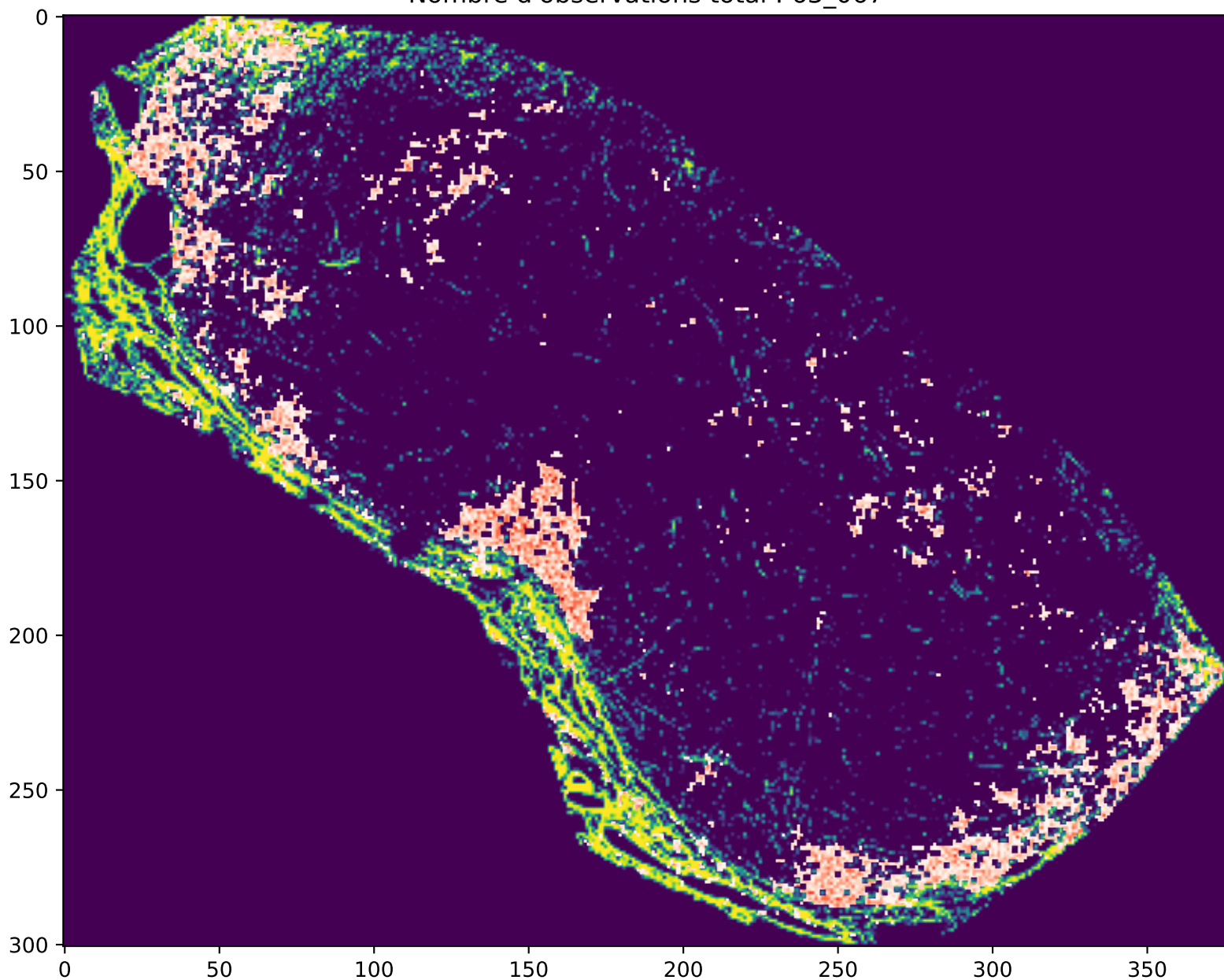


MAX\_12b\_MKI183\_CD3eFITC\_SHG

KI

Nombre de Cellules T : 29\_182 (46.27%)

Nombre d'observations total : 63\_067

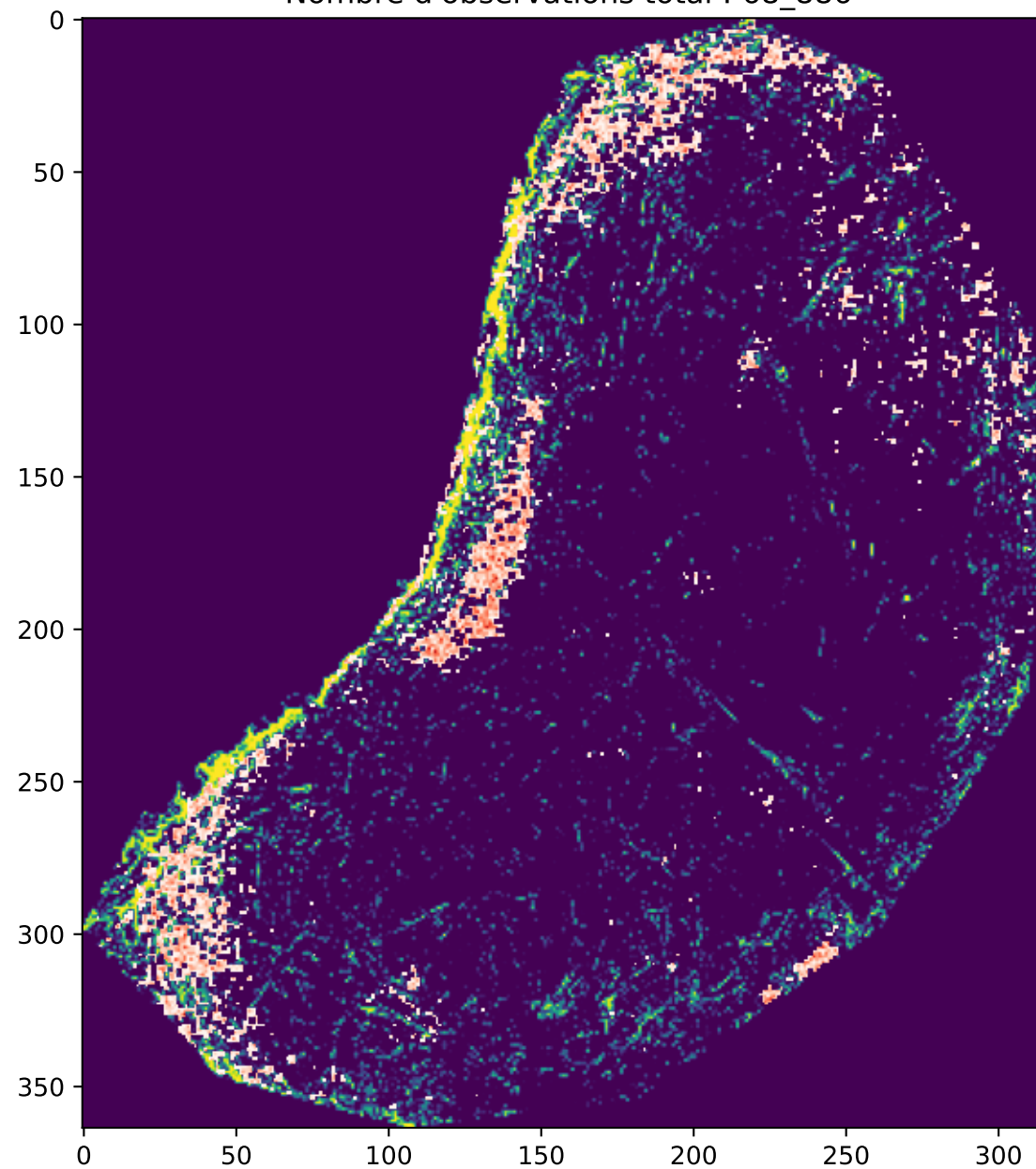


MAX\_12b\_FKI192\_CD3\_SHG

KI

Nombre de Cellules T : 27\_197 (39.48%)

Nombre d'observations total : 68\_886

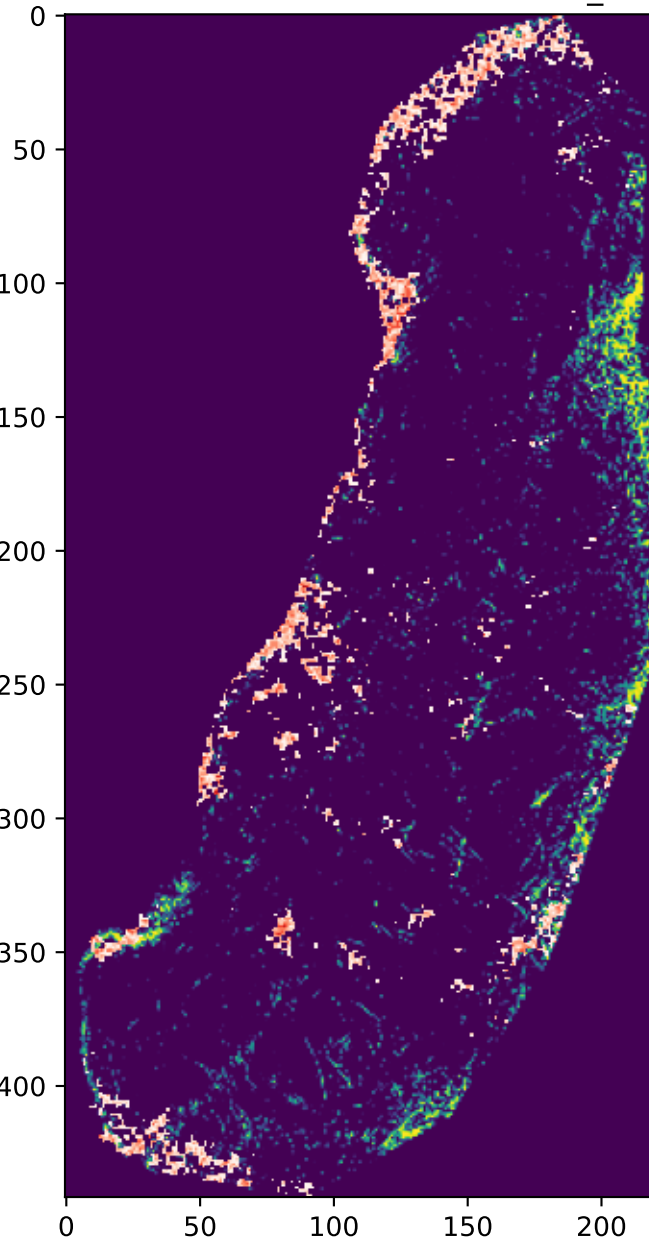


MAX\_12b\_MKI185\_CD3\_SHG

KI

Nombre de Cellules T : 17\_017 (30.79%)

Nombre d'observations total : 55\_266

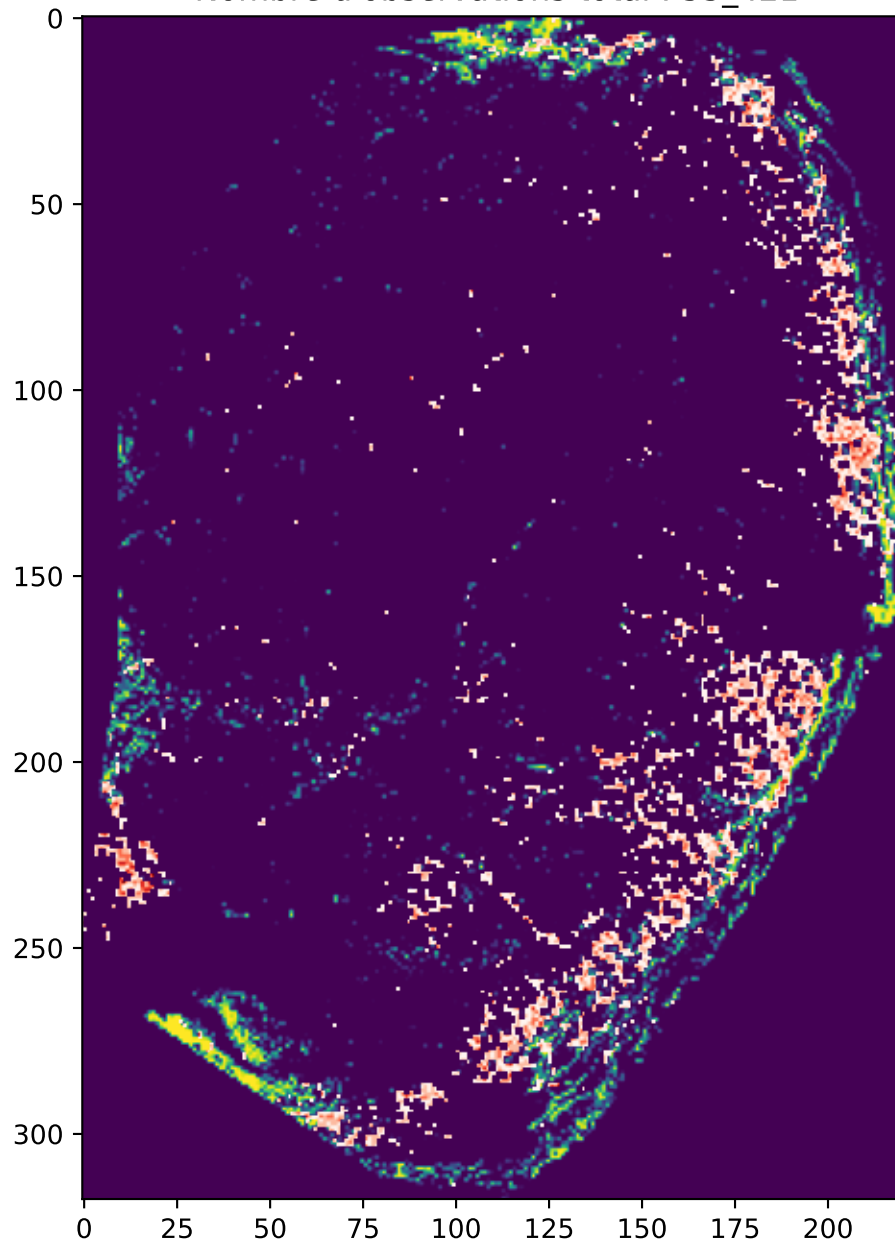


MAX\_12b\_FKI332\_CD3\_SHG

KI

Nombre de Cellules T : 20\_427 (38.24%)

Nombre d'observations total : 53\_421

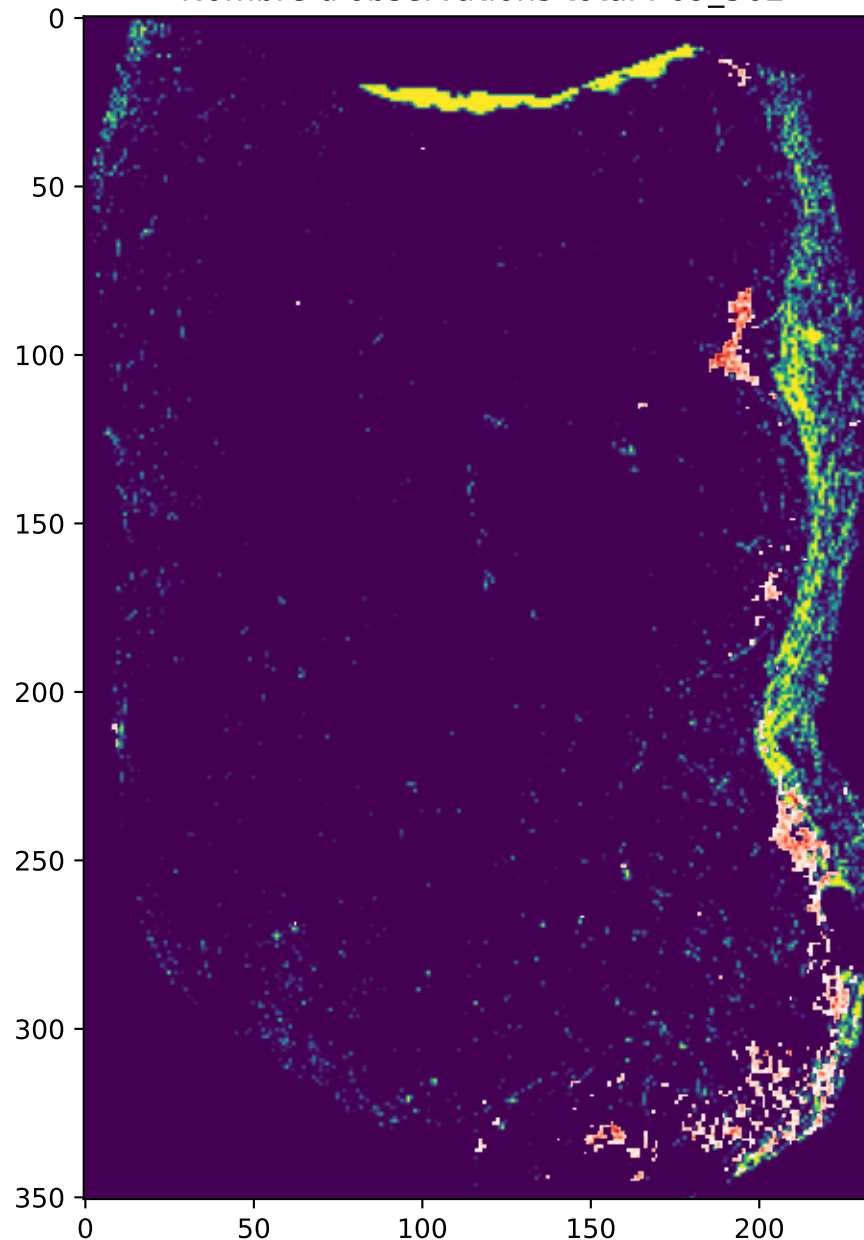


MAX\_12b\_FKI194\_CD3\_SHG

KI

Nombre de Cellules T : 8\_163 (11.73%)

Nombre d'observations total : 69\_562

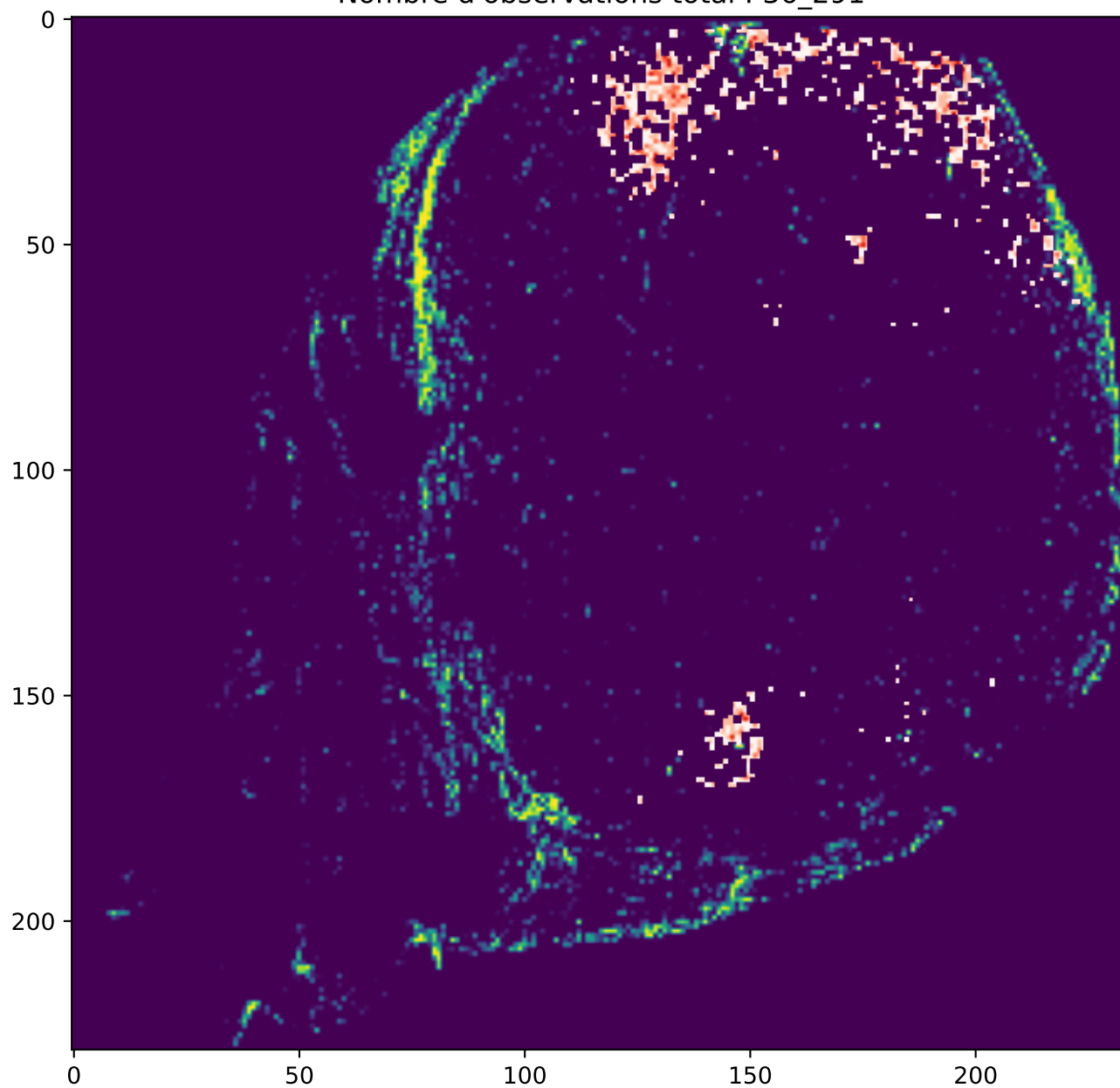


MAX\_12b\_FKI193\_CD3\_SHG

KI

Nombre de Cellules T : 5\_417 (14.93%)

Nombre d'observations total : 36\_291

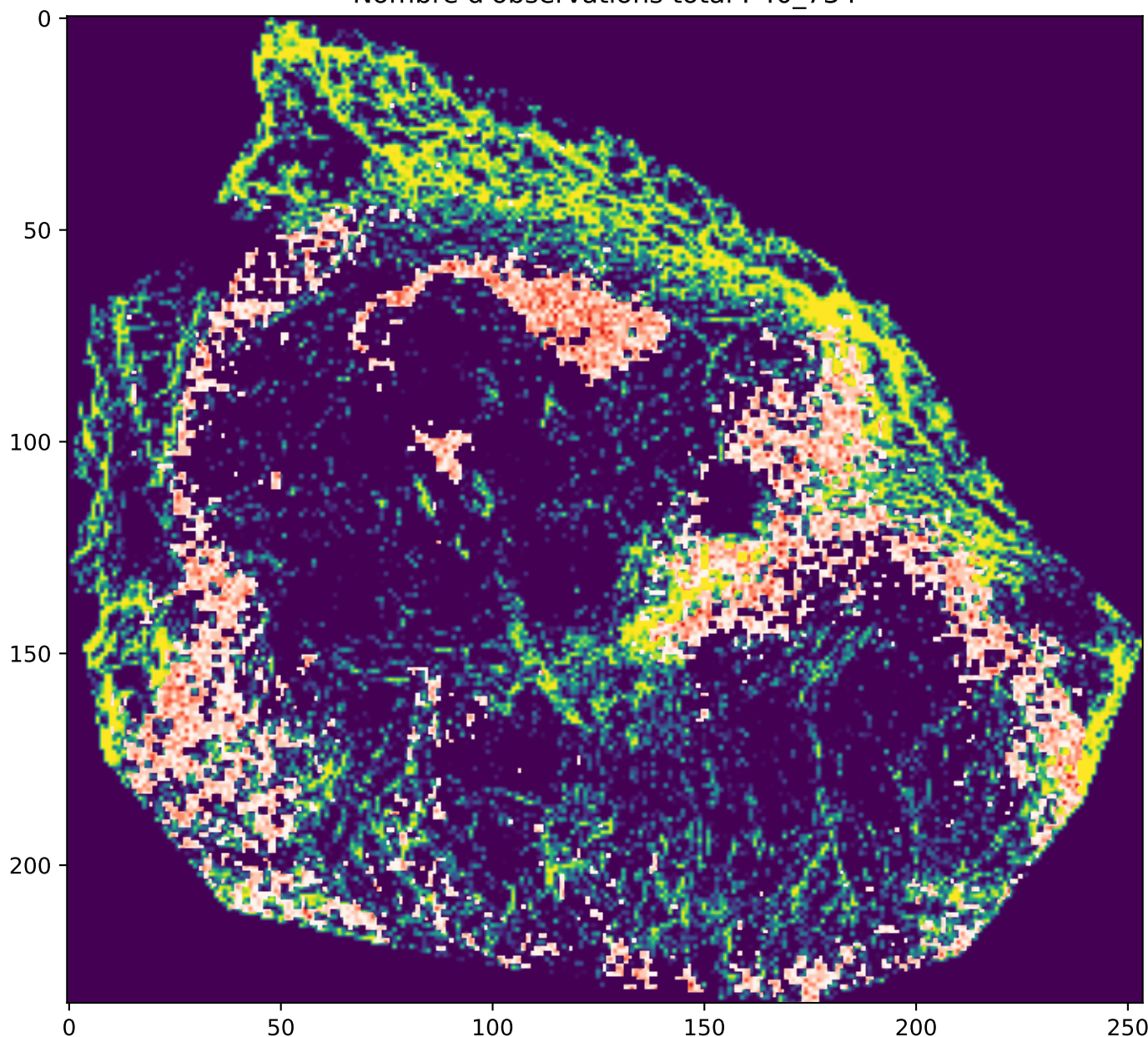


MKI139\_CD3eFITC\_SHG

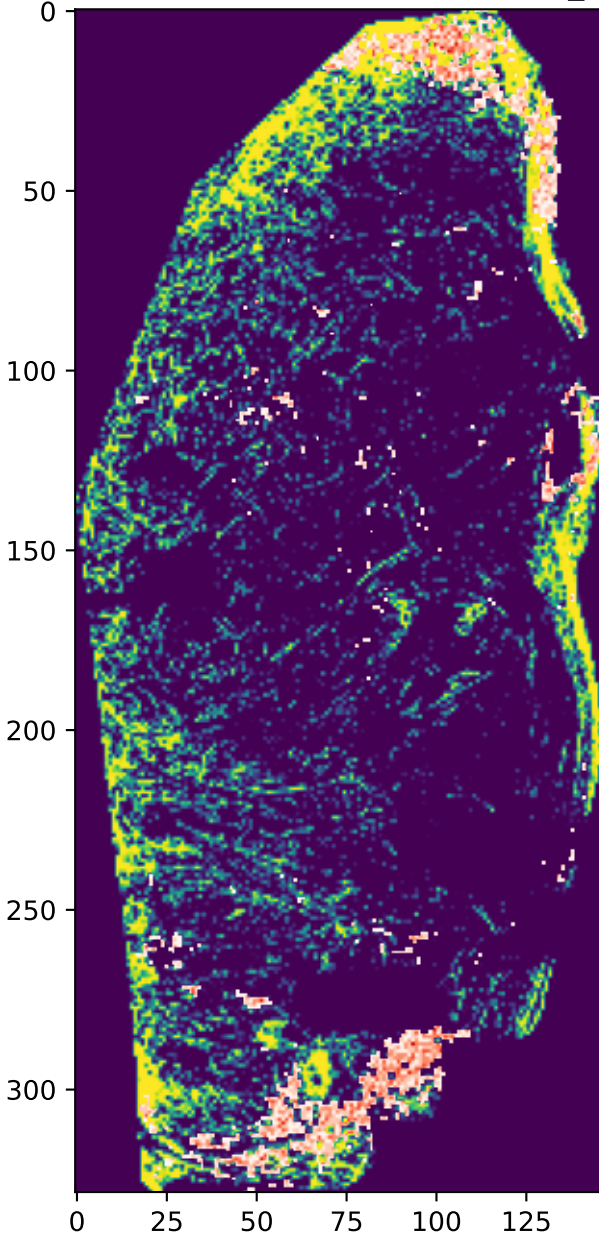
KI

Nombre de Cellules T : 23\_857 (58.57%)

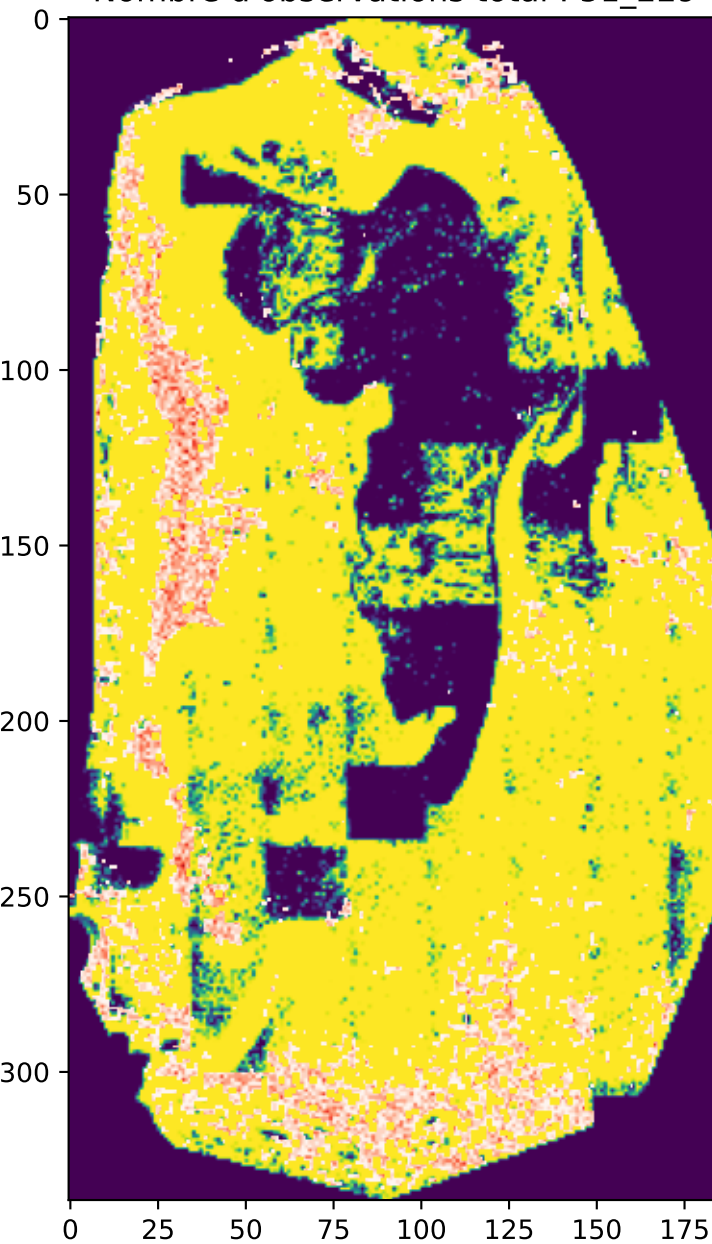
Nombre d'observations total : 40\_734



12a\_MKI152\_CD3\_SHG  
KI  
Nombre de Cellules T : 11\_293 (30.01%)  
Nombre d'observations total : 37\_634



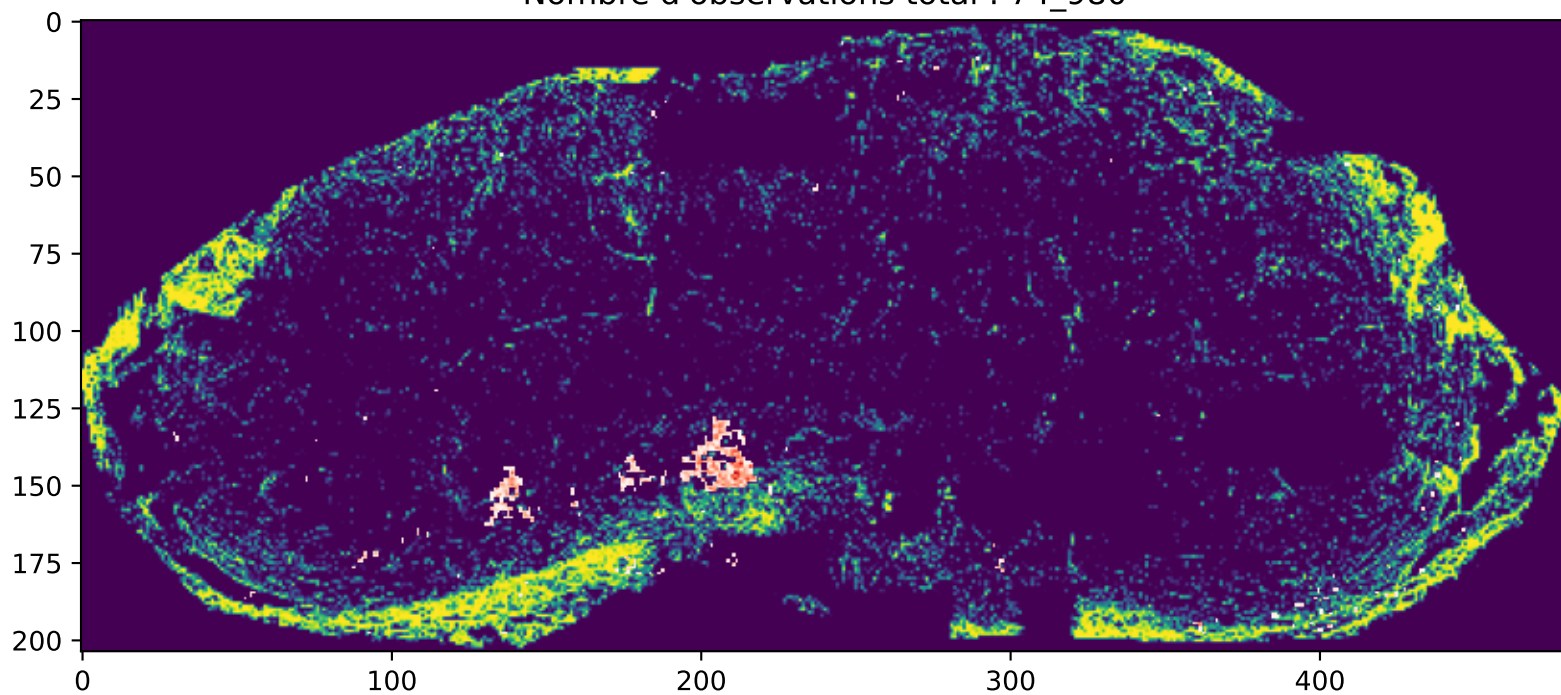
MAX\_12b\_188\_CD3eFITC  
KI  
Nombre de Cellules T : 28\_787 (56.19%)  
Nombre d'observations total : 51\_229



12c\_MKI138\_CD3eFITC\_SHG\_phal546\_F480647  
KI

Nombre de Cellules T : 6\_416 (8.56%)

Nombre d'observations total : 74\_980

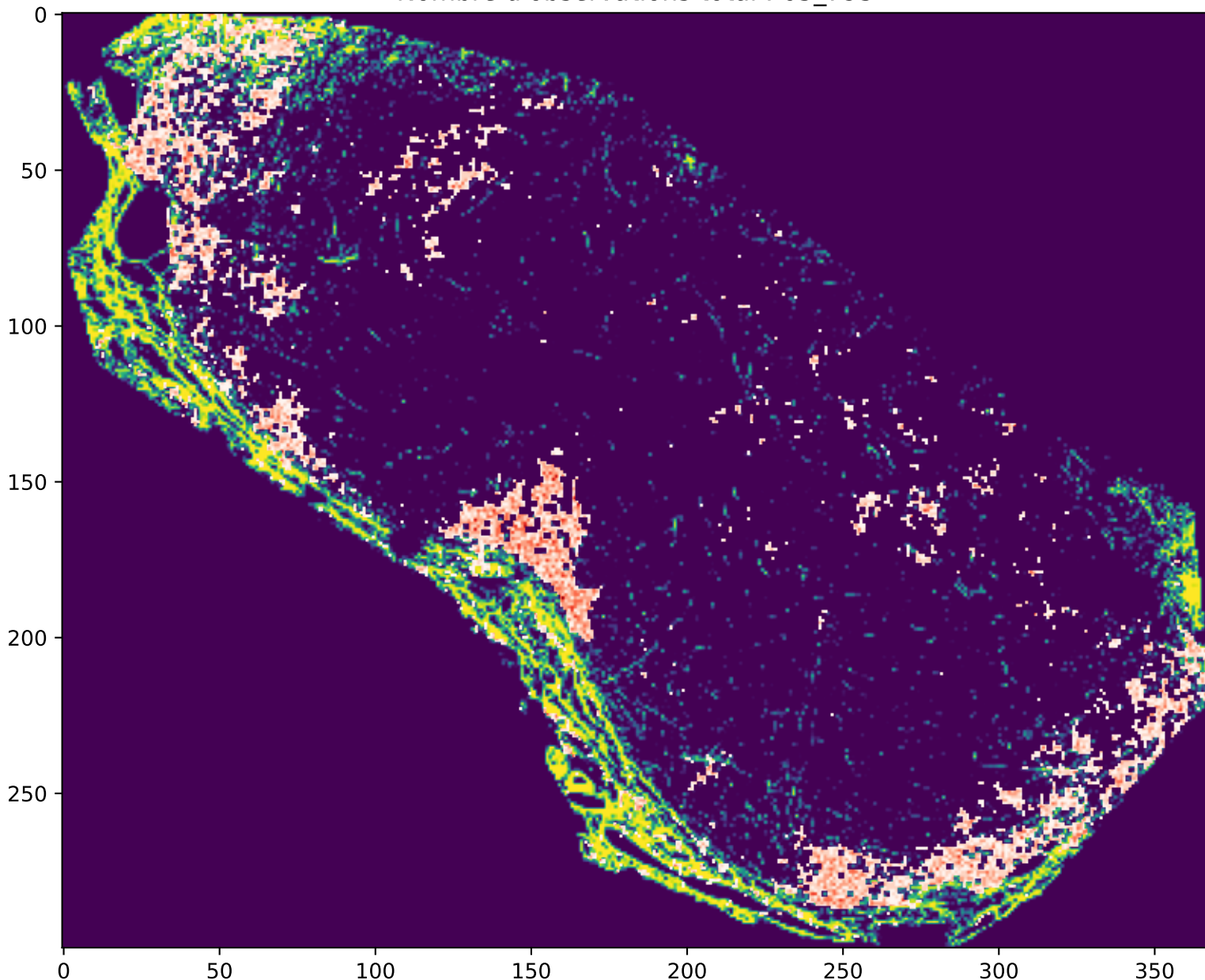


MAX\_12b\_183\_CD3eFITC\_SHG

KI

Nombre de Cellules T : 29\_235 (45.83%)

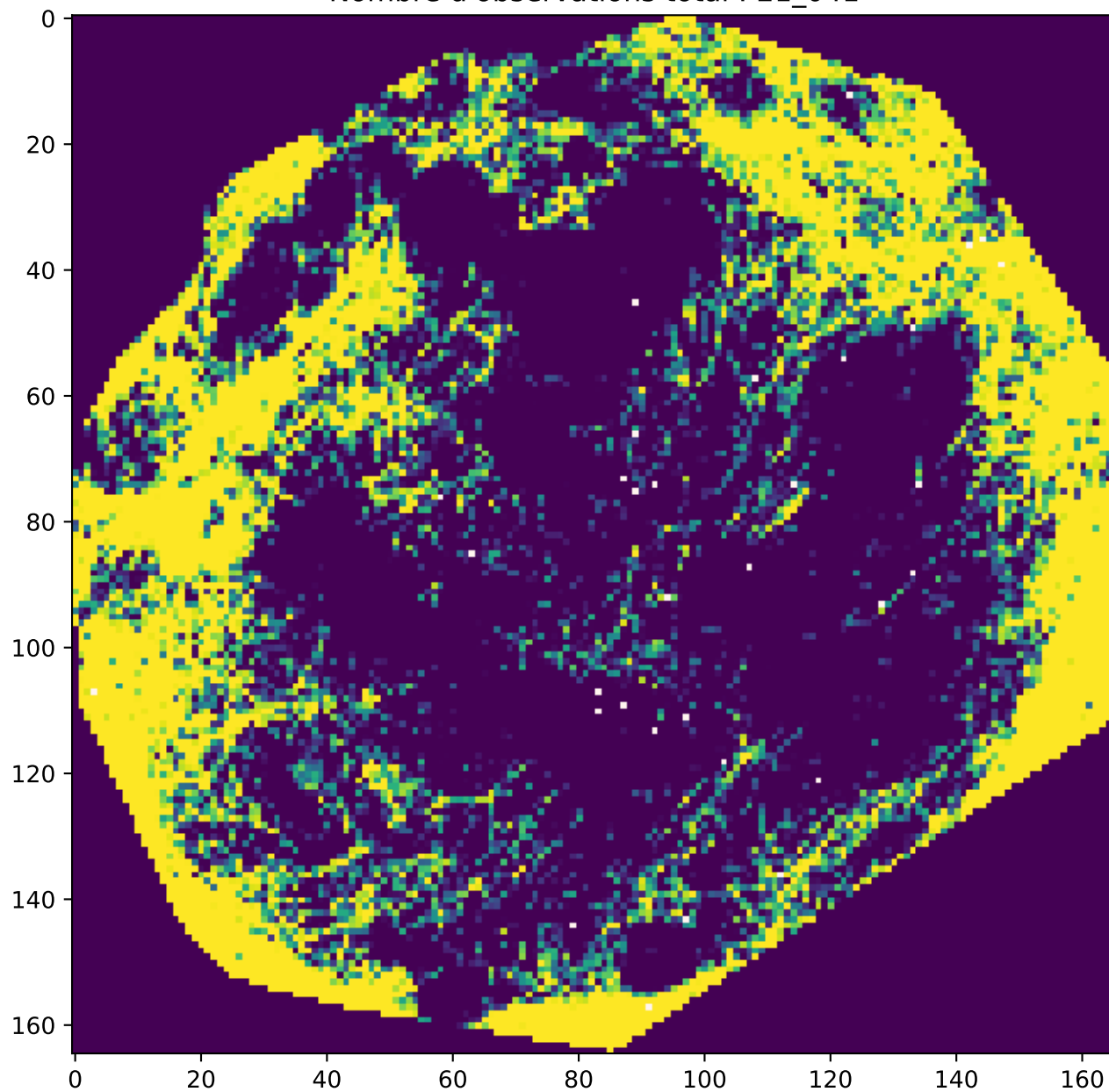
Nombre d'observations total : 63\_793



MAX\_12a\_MKI353\_CD3\_SHG

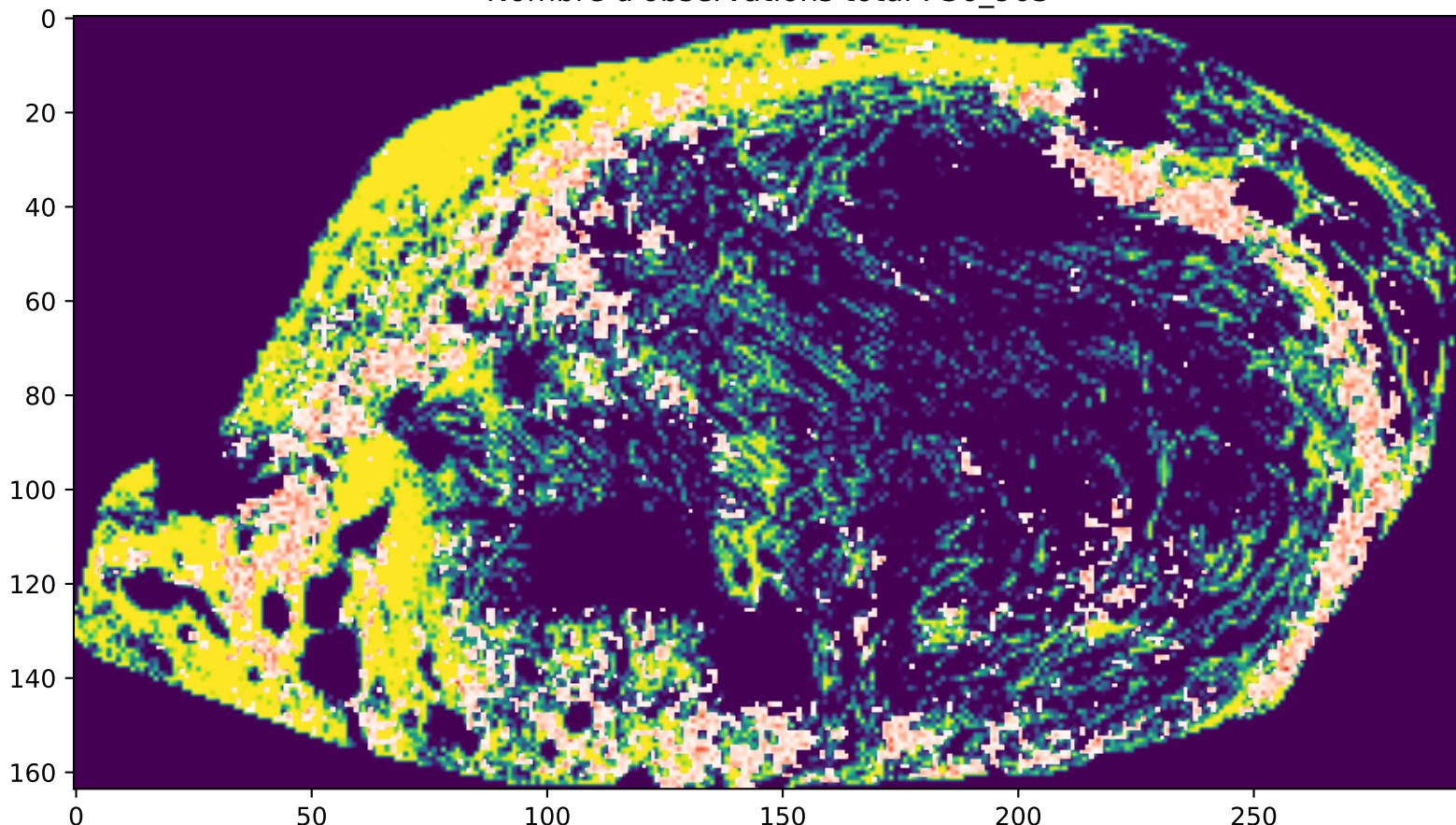
KI

Nombre de Cellules T : 32 (0.15%)  
Nombre d'observations total : 21\_041

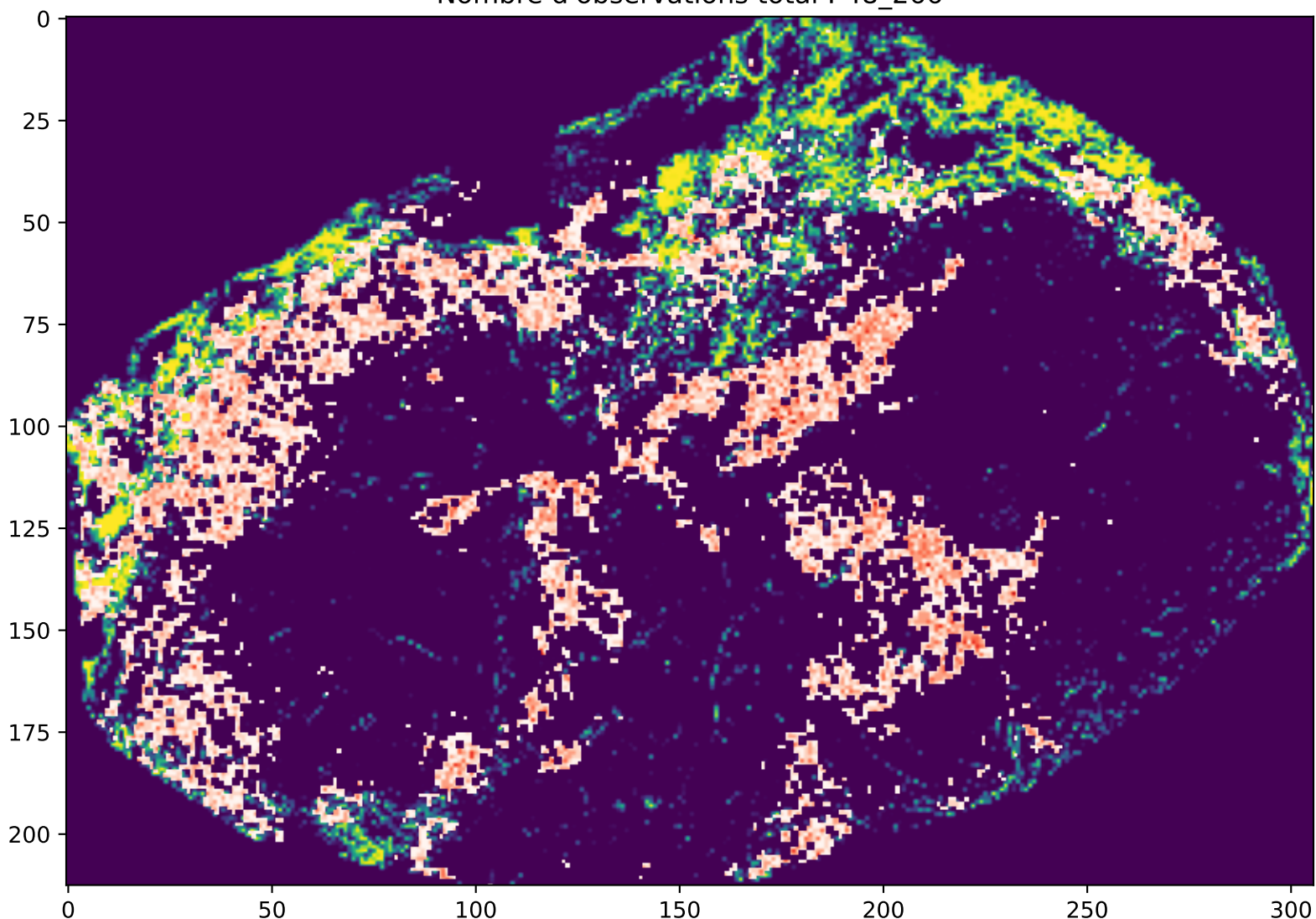


MAX\_12a\_FKI158\_CD3\_SHG  
KI

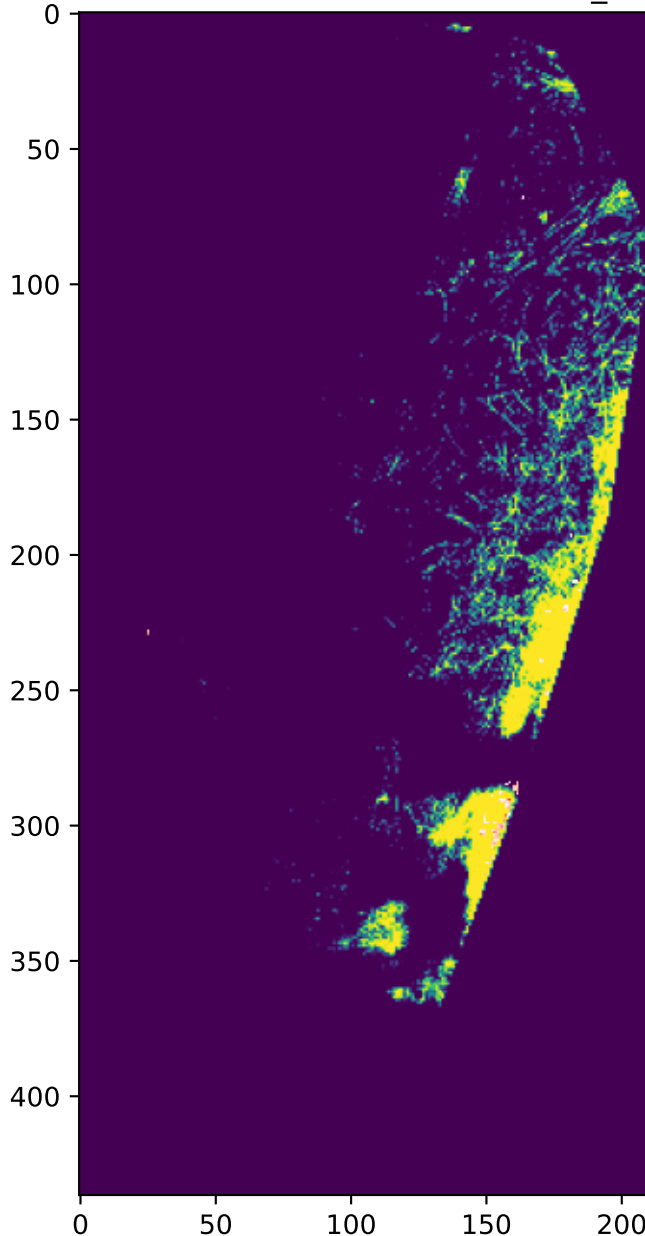
Nombre de Cellules T : 23\_477 (63.61%)  
Nombre d'observations total : 36\_905



FKI\_860bis\_left\_CD3FITC  
KI  
Nombre de Cellules T : 31\_964 (66.22%)  
Nombre d'observations total : 48\_266



FKI\_860\_CD3FITC  
KI  
Nombre de Cellules T : 958 (1.79%)  
Nombre d'observations total : 53\_650

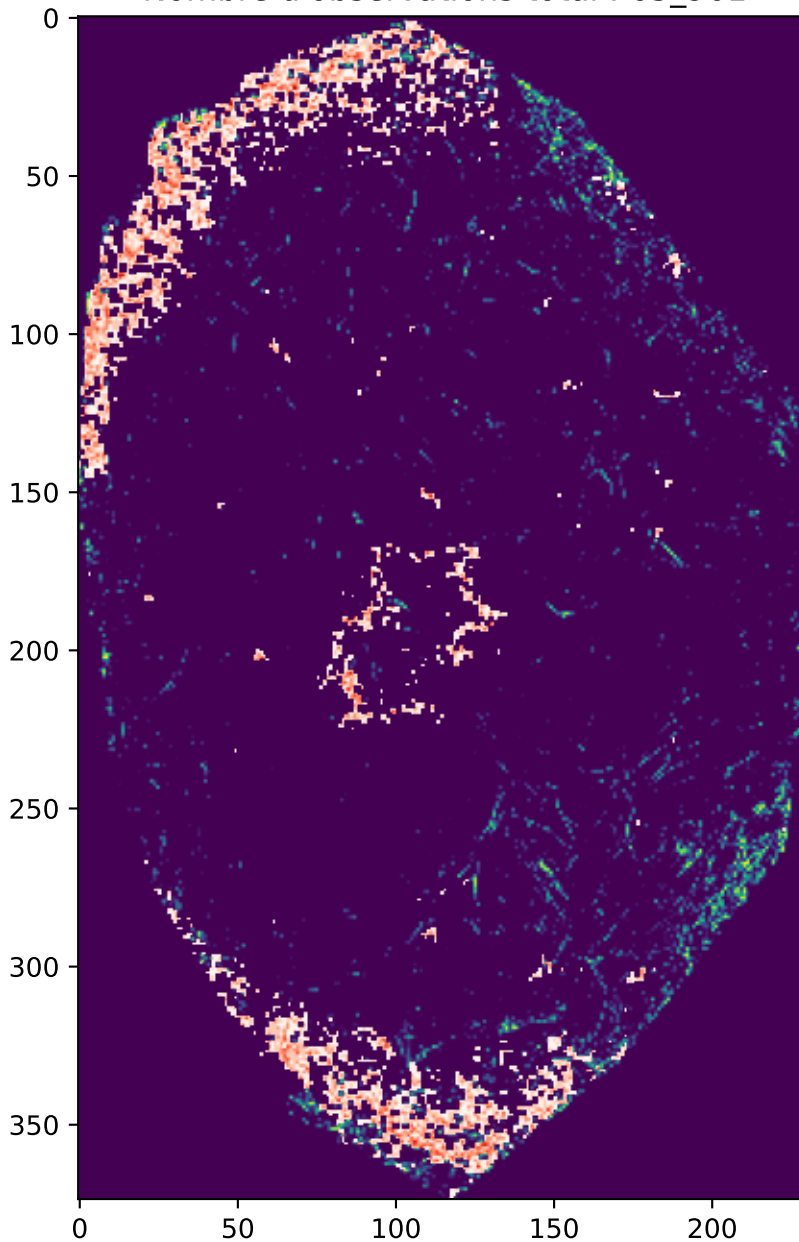


FKI\_141\_bottom\_CD3FITC\_F480\_AF647\_Pha1546

KI

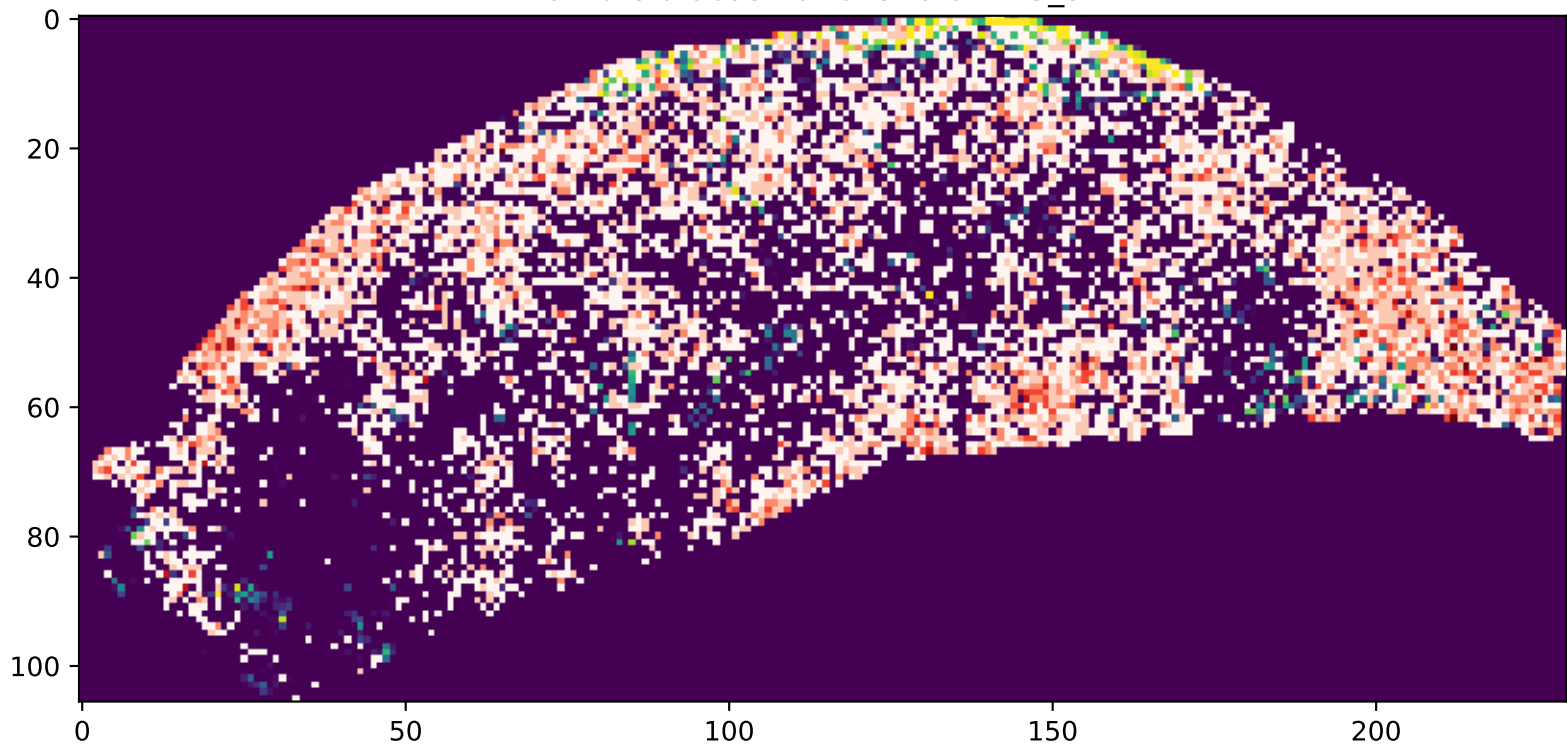
Nombre de Cellules T : 19\_654 (30.73%)

Nombre d'observations total : 63\_961



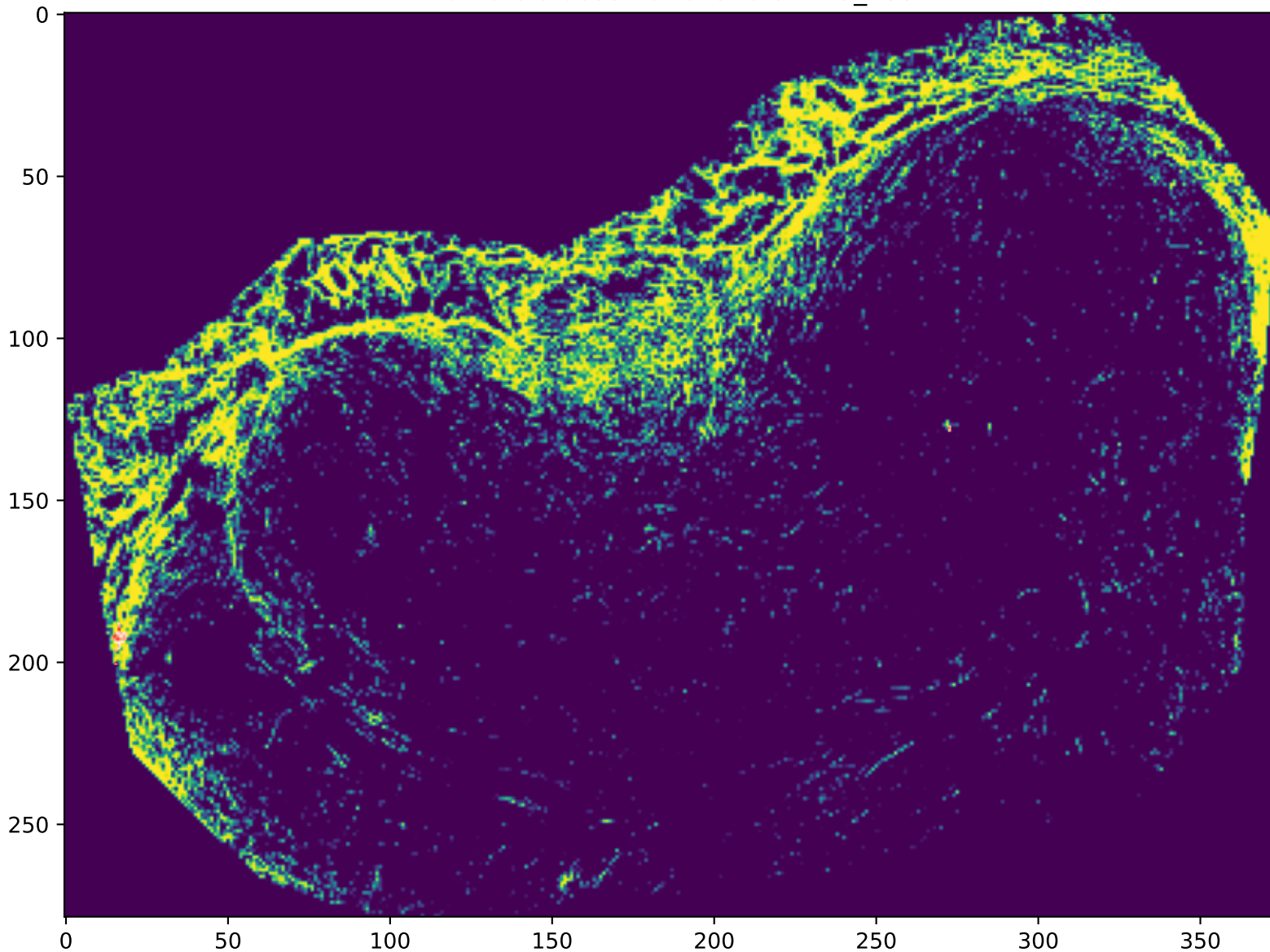
FKI\_140\_left\_bottom\_CD3FITC  
KI

Nombre de Cellules T : 9\_758 (72.21%)  
Nombre d'observations total : 13\_514



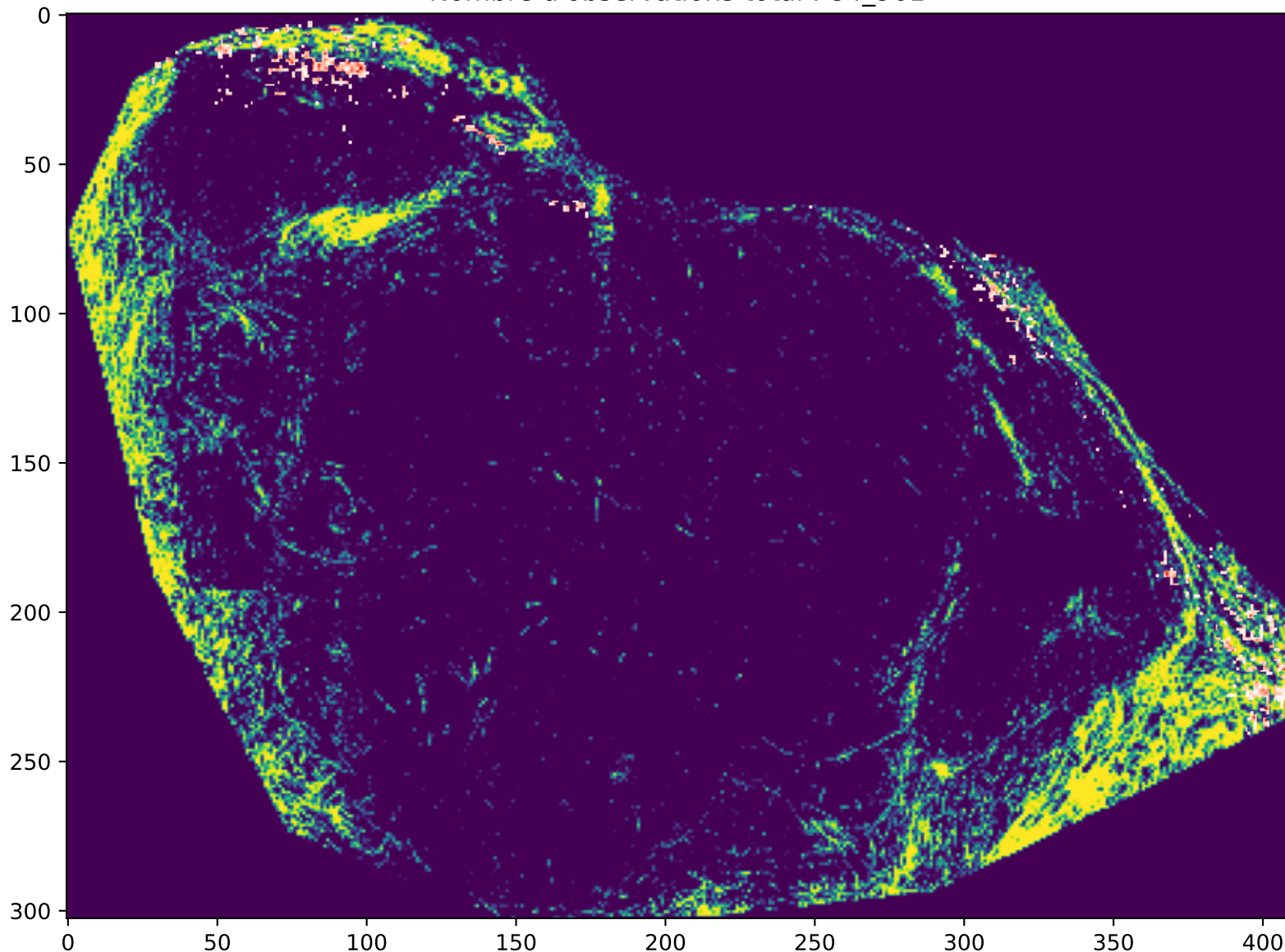
12c\_ZF\_MAX\_12c\_MKI857\_CD3FITC\_SHG  
KI

Nombre de Cellules T : 277 (0.37%)  
Nombre d'observations total : 75\_733



12c\_ZF\_MAX\_12c\_MKI856\_CD3FITC\_SHG  
KI

Nombre de Cellules T : 6\_008 (7.07%)  
Nombre d'observations total : 84\_961



MKI855\_CD3\_SHG\_HyD3\_laser\_10 - Copie

KI

Nombre de Cellules T : 15\_591 (18.52%)

Nombre d'observations total : 84\_204

